



การเคลือบฟิล์มบางโดยวิธีสปัตเตอริง

เมื่อของแข็งถูกชนด้วยอนุภาคพลังงานสูง แล้วทำให้อะตอมที่ผิวหน้าของของแข็งนั้นหลุดออก เรียกกระบวนการนี้ว่า สปัตเตอริง(Sputtering) โดยจะเรียกของแข็งที่ถูกชนว่า เป้าของการสปัตเตอริง (sputtering target) และเรียกอนุภาคตัวชนว่า ตัวสปัตเตอริง (sputtering species)

กระบวนการสปัตเตอริงปัจจุบันมีบทบาทสำคัญต่อเทคโนโลยีเคลือบฟิล์มบาง ทั้งในระดับงานวิจัยและระดับอุตสาหกรรม เมื่อกล่าวถึงการสปัตเตอริงโดยทั่วไปจะรู้จักกันในความหมายว่าเป็นวิธีเคลือบฟิล์มบาง ซึ่งอาศัยกระบวนการสปัตเตอริงที่เกิดขึ้นในโกลด์ดิสชาร์จโดยมีไอออนบวกเป็นตัวสปัตเตอริง และมีวัสดุที่ใช้ทำคาโทดเป็นเป้าของการสปัตเตอริง

ในบทนี้ส่วนแรกจะนำเสนอกลไกเบื้องต้นของการสปัตเตอริงเนื่องจากการชนผิวหน้าของของแข็งด้วยไอออนบวก จากนั้นเป็นหลักการทั่วไปของการเคลือบฟิล์มบางโดยวิธีสปัตเตอริง และในส่วนท้ายจะอธิบายถึงระบบเคลือบฟิล์มบางแบบดีซีแมกนีตรอนสปัตเตอริง ซึ่งเป็นระบบเคลือบฟิล์มบางที่จะสร้างขึ้นในงานวิจัยนี้

ทฤษฎีเบื้องต้นของสปัตเตอริง

1. อันตรกิริยาระหว่างไอออนบวกกับพื้นผิว

เมื่อไอออนบวกชนกับผิวเป้าซึ่งเป็นของแข็ง ปรากฏการณ์ต่างๆที่สามารถเกิดขึ้นได้มีดังต่อไปนี้ (ดูรูปที่ 3.1 ประกอบ) [30]

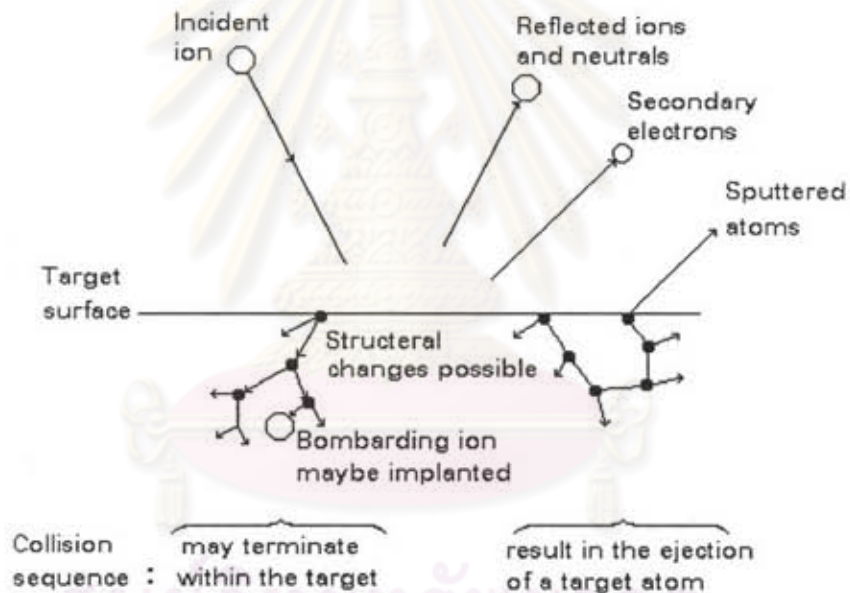
ก. ไอออนบวกที่เข้าชนถูกสะท้อนกลับ และอาจถูกทำให้เป็นกลางขณะชน

ข. ทำให้เกิดการปลดปล่อยอิเล็กตรอนทุติยภูมิ (secondary electron emission)

ค. ไอออนที่เข้าชนอาจฝังตัวในเป้า เป็นปรากฏการณ์ฝังไอออน (ion implantation) ซึ่งได้รับการไปใช้อย่างกว้างขวางในเทคโนโลยีวงจรรวม ในขั้นตอนการเจือซิลิกอนที่ต้องควบคุมปริมาณและความลึกของสารเจือที่แม่นยำ เทคโนโลยีเคลือบแข็ง เป็นต้น

ง. ทำให้มีการจัดโครงสร้างใหม่ที่ผิวเป้า ซึ่งสามารถเกิดได้หลายลักษณะ ได้แก่ การเกิดที่ว่าง การเลื่อนตำแหน่งของอะตอม ตลอดจนจนถึงการเปลี่ยนแปลงสัดส่วนองค์ประกอบ และการเปลี่ยนแปลงระดับและการกระจายของประจุไฟฟ้า

จ. ทำให้มีการชนต่อเนื่อง (collision cascade) ระหว่างอะตอมของเป้าแล้วทำให้อะตอมบริเวณผิวเป้าถูกกระแทกให้หลุดออก เป็นปรากฏการณ์สปัตเตอริง (Sputtering)



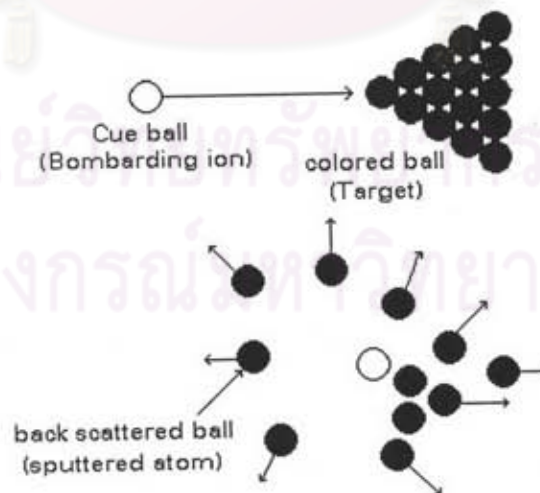
รูปที่ 3.1 กลไกที่เกิดขึ้นเมื่อไอออนบวชนกับผิวเป้า

ความน่าจะเป็นที่จะเกิดปรากฏการณ์แต่ละแบบขึ้นกับชนิดของอะตอมที่ผิวเป้า ชนิดและพลังงานของไอออนบวกที่ชน สำหรับการสปัตเตอริงจะเกิดได้ดีในช่วงพลังงานของไอออนบวกระหว่าง 100 อิเล็กตรอนโวลต์ ถึง 10 กิโลอิเล็กตรอนโวลต์ ที่พลังงานไอออนบวกสูงกว่านี้การฝังไอออนจะเกิดได้ดีกว่า

2. กลไกสปีดเตอร์ริง

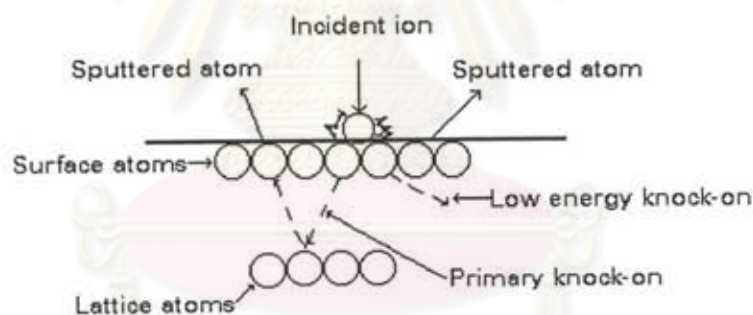
สปีดเตอร์ริงเป็นผลของลำดับชั้นการชน (collision cascade) ระหว่างอะตอมของเป้าที่เกิดขึ้นต่อเนื่องหลังจากการชนผิวเป้าด้วยไอออนบวก [31] อะตอมซึ่งเกี่ยวข้องกับ การชนเป็น ส่วนที่อยู่ลึกจากผิวเป้าไม่เกิน 10 อังสตรอม อะตอมของผิวเป้าซึ่งถูกสปีดเตอร์ริงจะเป็นชั้นสุดท้าย ในลำดับการชน ในการพิจารณาการชนระหว่างอนุภาคที่เกี่ยวข้องแต่ละคู่ ทั้งระหว่างไอออนบวก กับอะตอมของเป้าและระหว่างอะตอมของเป้าด้วยกัน ยึดถือตามแบบจำลองการชนแบบยืดหยุ่น ของแบบจำลองลูกบิลเลียด ซึ่งอธิบายด้วยฟังก์ชันการส่งผ่านพลังงาน $\frac{4m_1m_2}{(m_1+m_2)^2}$ โดย m_1 และ m_2 เป็นมวลของอนุภาคที่เข้าชนและถูกชนตามลำดับ (ดูภาคผนวก ก) ระหว่างการชน โมเมนตัมจะถูกส่งผ่านจากอนุภาคที่เข้าชนไปยังอนุภาคที่ถูกชน ในทิศของแนวลากที่ผ่านจุด ศูนย์กลางมวลของอนุภาคทั้งสองในขณะสัมผัสกัน

การสปีดเตอร์ริงมักได้รับการเปรียบเทียบกับการเล่นบิลเลียด แสดงดังรูปที่ 3.2 โดย พิจารณาให้อนุภาคทั้งหมดเป็นทรงกลมแข็ง และเปรียบเสมือนไอออนบวกเป็นลูกขาว (cue ball) และอะตอมที่ผิวเป้าเสมือนกับลูกสี (colored ball) ที่เรียงกันเป็นระเบียบ การชนของลูกขาว (ไอออนบวก) ทำให้ลูกสี (อะตอม) กระแทกกันเป็นทอดๆ แล้วสามารถกระเจิงออกทุกทิศทางรวมทั้ง ทิศทางที่ย้อนกลับกับลูกขาว (เข้าหาผู้เล่น) ซึ่งเทียบได้กับอะตอมที่ถูกสปีดเตอร์ริงออกจากผิวเป้า แม้ว่าในกระบวนการที่เกิดขึ้นจริงแรงดึงดูดภายในระหว่างอะตอมจะต่างกับกรณีของลูกบิลเลียด แต่แบบจำลองนี้ก็สามารรถใช้อธิบายได้ใกล้เคียงกับความเป็นจริง



รูปที่ 3.2 การสปีดเตอร์ริงเปรียบเทียบกับการเล่นบิลเลียด

กลไกถ่ายทอดโมเมนตัมที่สามารถนำไปสู่การสปีดเตอร์อะตอมออกจากผิวเป้าซึ่งแสดงดังรูปที่ 3.3 เริ่มต้นจากไอออนบวกชนเป้าแล้วส่งผ่านโมเมนตัมให้กับอะตอมของผิวเป้าซึ่งอยู่หนึ่ง ไอออนบวกจะกระทบกับอะตอมของผิวเป้า 2 หรือ 3 อะตอมเกือบพร้อมๆกัน อะตอมซึ่งถูกชนในชั้นแรกนี้จะไม่เป็นอะตอมที่ถูกสปีดเตอร์ แต่เป็นตัวการทำให้อะตอมที่อยู่ใกล้เคียงหลุดจากผิวเป้าโดยการชนต่อเนื่องที่ตามมา อะตอมที่ถูกไอออนบวกชนในลักษณะ low energy knock-on จะได้รับองค์ประกอบของโมเมนตัมในแนวขนานผิวเป้าเป็นส่วนใหญ่ จึงเคลื่อนตัวออกในแนวเฉียงด้านข้าง และสามารถกระแทกอะตอมที่ผิวเป้าซึ่งอยู่รอบๆให้หลุดจากผิวเป้าได้จากการชนเพียงลำดับแรก ส่วนอะตอมที่ถูกไอออนบวกชนในลักษณะ primary knock-on ซึ่งได้รับองค์ประกอบของโมเมนตัมในทิศพุ่งเข้าสู่เป้าเป็นส่วนใหญ่ จะเคลื่อนตัวลึกลงไปชนกับอะตอมในชั้นถัดไป ซึ่งตัวมันเองอาจสะท้อนกลับไปกระแทกอะตอมที่ผิวเป้าให้หลุดออก หรือทำให้เกิดการชนต่อเนื่องไปอีกหลายๆชั้น จนกระทั่งทำให้มีอะตอมอื่นได้รับโมเมนตัมในทิศที่เปลี่ยนไปมากกว่า 90 องศาเมื่อเทียบกับโมเมนตัมของไอออนบวกตกกระทบ อะตอมเหล่านี้สามารถเคลื่อนที่ย้อนกลับไปกระแทกอะตอมที่ผิวให้หลุดออกในที่สุด



รูปที่ 3.3 การถ่ายทอดโมเมนตัมในกระบวนการสปีดเตอร์

3. อัตราสปีดเตอร์

พารามิเตอร์ที่อธิบายกระบวนการสปีดเตอร์เชิงปริมาณ คือ อัตราสปีดเตอร์ (sputtering yield: S) ซึ่งนิยามในเทอมของจำนวนอะตอมของเป้าที่หลุดออกต่อการชนด้วยไอออนบวก 1 อนุภาค เนื่องจากกระบวนการสปีดเตอร์เกี่ยวข้องกับการชนระหว่างอะตอมของเป้าและไอออนบวก ดังนั้นอัตราสปีดเตอร์จึงขึ้นกับชนิดของเป้าชนิดของไอออนบวกพลังงานและทิศทางของไอออนบวกขณะตกกระทบเป้า

สมมุติให้ไอออนบวกตกกระทบตั้งฉากบนเป้าระนาบ ซึ่งมีแถวของอะตอมเรียงกันแบบสุ่ม และจากแบบจำลองการชนแบบยืดหยุ่น จะได้อัตราสปีดเตอริงในช่วงความสัมพันธ์เชิงเส้นกับพลังงานของไอออนบวก ($E_i < 1$ กิโลอิเล็กตรอนโวลท์) ตามสมการ [32]

$$S = \frac{3\alpha}{4\pi^2} \frac{4m_i m_t E_i}{(m_i + m_t)^2 E_b} \quad (3.1)$$

และอัตราสปีดเตอริงในช่วงที่พลังงานของไอออนบวกสูงกว่า 1 กิโลอิเล็กตรอนโวลท์ ตามสมการ

$$S = 3.56\alpha \frac{(Z_i Z_t)(m_i m_t)}{(Z_i^{2/3} + Z_t^{2/3})(m_i + m_t) E_b} S_n(E_i) \quad (3.2)$$

โดย m_i และ E_i เป็นมวลและพลังงานจลน์ของไอออนบวก

m_t และ E_b เป็นมวลของอะตอมเป้า และพลังงานยึดเหนี่ยวระหว่างอะตอมที่ผิวเป้า หรือพลังงานการระเหิด(heat of sublimation)

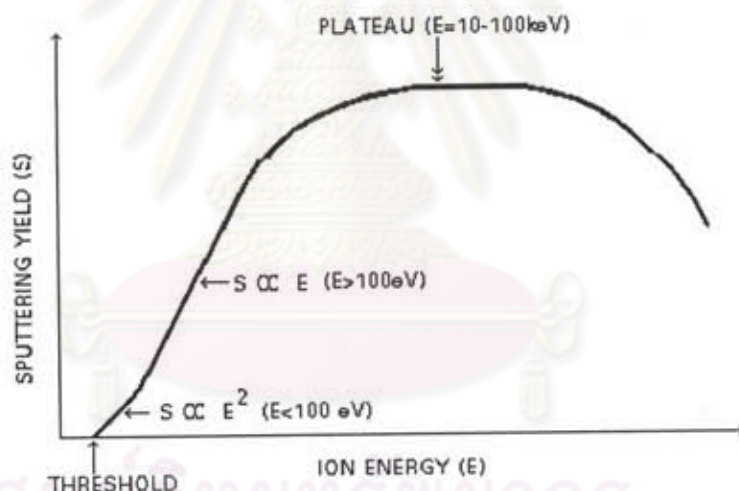
Z_i และ Z_t เป็นเลขอะตอมของไอออนบวกและอะตอมของเป้า

α เป็นพารามิเตอร์ซึ่งวัดประสิทธิภาพการส่งผ่านโมเมนตัมในขณะการชน และมีค่าขึ้นกับอัตราส่วน m/m_t โดย α จะเท่ากับ 0.17 เมื่ออัตราส่วน m/m_t เท่ากับ 0.1 และจะเพิ่มขึ้นเป็น 1.4 เมื่ออัตราส่วน m/m_t เท่ากับ 10

$S_n(E)$ คือ reduced stopping power เป็นพารามิเตอร์ซึ่งวัดการสูญเสียพลังงานของไอออนบวกต่อหนึ่งหน่วยระยะทาง และเป็นฟังก์ชันกับพลังงานของไอออนบวก รวมทั้งมวลและเลขอะตอมของอนุภาคที่เกี่ยวข้อง เมื่อพลังงานของไอออนบวกสูงอัตราสปีดเตอริงค่อนข้างจะคงที่เนื่องจาก $S_n(E)$ มีแนวโน้มเป็นอิสระจากพลังงานของไอออนบวก

สมการทั้งสองข้างต้น แสดงให้เห็นถึง ลักษณะความสัมพันธ์ของอัตราสปีดเตอริงกับพารามิเตอร์ต่างๆของไอออนบวกและเป้าที่เกี่ยวข้องในกระบวนการสปีดเตอริง และสรุปได้ว่า ไอออนบวกส่งผลต่ออัตราสปีดเตอริงผ่านทางพลังงานจลน์ (E_i) และมวล (m) ส่วนเป้าส่งผลผ่านทางมวลของอะตอม(m_t) และพลังงานยึดเหนี่ยวระหว่างอะตอม(E_b) สำหรับในช่วงพลังงานของไอออนบวกสูง อัตราสปีดเตอริงจะได้รับผลจากเลขอะตอมของอนุภาคทั้งสองด้วย

รูปที่ 3.4 แสดงลักษณะแบบฉบับของความสัมพันธ์ระหว่างอัตราสputtering กับพลังงานของไอออนบวก[33] จากรูปจะเห็นว่าเป้าเริ่มถูกสputtering เมื่อพลังงานของไอออนบวกสูงถึงค่าพลังงานขีดเริ่ม (threshold energy) ของการสputtering เมื่อพลังงานของไอออนบวกมีค่าใกล้เคียงกับพลังงานขีดเริ่ม ($E < 100$ อิเล็กตรอนโวลท์) อัตราสputtering จะแปรผันตามพลังงานของไอออนบวกยกกำลังสอง แล้วเปลี่ยนเป็นเพิ่มขึ้นแบบเชิงเส้นในช่วงพลังงานของไอออนบวกระหว่าง 0.1 ถึง 1 กิโลอิเล็กตรอนโวลท์ หลังจากนั้นอัตราสputtering จะเพิ่มช้าลงและคงที่ในช่วงพลังงานของไอออนบวกระหว่าง 10 ถึง 100 กิโลอิเล็กตรอนโวลท์ ถ้าเพิ่มพลังงานของไอออนบวกต่อไปอีกอัตราสputtering จะลดลง ทั้งนี้เนื่องจากไอออนบวกที่ชนเป้าด้วยพลังงานสูงจะฝังตัวลึกและสูญเสียพลังงานอย่างรวดเร็ว ซึ่งจะลดโอกาสทำให้อะตอมเป้าถูกสputtering ถ้าหากว่าพิจารณาจาก ด้านการใช้พลังงานแล้ว การสputtering จะมีประสิทธิภาพที่สุดในช่วงที่พลังงานของไอออนบวกน้อยกว่า 1 กิโลอิเล็กตรอนโวลท์



รูปที่ 3.4 ลักษณะแบบฉบับของความสัมพัทธ์ระหว่างอัตราสputtering กับพลังงานไอออนบวก

ตารางที่ 3.1 [34] แสดงพลังงานขีดเริ่มของการสputtering โลหะด้วยไอออนบวกของ Ne, Ar, Kr, Xe และ H พร้อมด้วยพลังงานการระเหิด (heat of sublimation: H) ของโลหะแต่ละชนิด ซึ่งมีข้อสังเกต คือ พลังงานขีดเริ่มส่วนใหญ่มีค่าระหว่าง 10-30 อิเล็กตรอนโวลท์ และมีค่าคิดเป็นประมาณ 4 เท่าของพลังงานการระเหิด ถ้าไม่คำนึงถึงการสูญเสียพลังงานจลน์ของไอออนบวกในรูปอื่น เช่น พลังงานความร้อนแล้ว ค่าของพลังงานขีดเริ่มน่าจะเป็นสิ่งที่ยืนยันการเกิดลำดับขั้นการชนระหว่างอะตอมของเป้าก่อนที่อะตอมที่ผิวเป้าจะถูกสputtering

ตารางที่ 3.1 พลังงานขีดเริ่มของการสปีดเตอร์ (อิเล็กตรอนโวลท์)
(H คือ พลังงานสำหรับการระเหิด)

โลหะ	ไอออนบวก					H
	Ne	Ar	Kr	Xe	Hg	
Be	12	15	15	15	-	-
Al	13	13	15	16	18	-
Ti	22	20	17	18	25	4.40
V	21	23	25	28	25	5.28
Cr	22	22	18	20	23	403
Fe	22	20	25	23	25	4.12
Co	20	25	22	22	-	4.40
Ni	23	21	25	20	-	4.41
Cu	17	17	16	15	20	3.53
Ge	23	25	22	18	25	4.07
Zr	23	22	18	25	30	6.14
Nb	27	25	26	32	-	7.71
Mo	24	24	28	27	32	6.15
Rh	25	24	25	25	-	5.98
Pd	20	20	20	15	20	4.08
Ag	12	15	15	17	-	3.35
Ta	25	26	30	30	30	8.02
W	35	33	30	30	30	8.80
Re	35	35	25	30	35	-
Pt	27	25	22	22	25	5.60
Au	20	20	20	18	-	3.90
Th	20	24	25	25	-	7.70
U	20	23	25	22	27	9.57

ตารางที่ 3.2 [35] แสดงข้อมูลอัตราสปีดเตอร์ของเป้าโลหะชนิดต่างๆ เมื่อถูกชนด้วยไอออนบวกของนีออนและอาร์กอนซึ่งมีพลังงานจลน์ระหว่าง 0- 600 eV ในทิศตั้งฉาก จากตารางจะเห็นว่าอัตราสปีดเตอร์ของโลหะแต่ละชนิดจะเพิ่มขึ้นเมื่อพลังงานไอออนบวกสูงขึ้น และถ้าพลังงานของไอออนบวกเท่ากัน อัตราสปีดเตอร์จะเพิ่มขึ้นตามมวลของไอออนบวกซึ่งสอดคล้องกับการเพิ่มของพารามิเตอร์ α ตามอัตราส่วน m/m_1 ในสมการ (3.1)

ตารางที่ 3.2 อัตราสปีดเตอร์ของโลหะซึ่งชนด้วยไอออนบวกของนีออนและอาร์กอน

Target	Ne ⁺				Ar ⁺			
	100eV	200eV	300eV	600eV	100eV	200eV	300eV	600eV
Be	0.012	0.10	0.26	0.56	0.074	0.18	0.29	0.80
Al	0.031	0.24	0.43	0.83	0.11	0.35	0.65	1.24
Si	0.034	0.13	0.25	0.54	0.07	0.18	0.31	0.53
Ti	0.08	0.22	0.30	0.45	0.081	0.22	0.33	0.58
V	0.06	0.17	0.036	0.55	0.11	0.31	0.41	0.70
Cr	0.18	0.49	0.73	1.05	0.30	0.67	0.87	1.30
Fe	0.18	0.38	0.62	0.97	0.20	0.53	0.76	1.26
Co	0.084	0.41	0.64	0.99	0.15	0.57	0.81	1.36
Ni	0.22	0.46	0.65	1.34	0.28	0.66	0.95	1.52
Cu	0.26	0.84	1.20	2.00	0.48	1.10	1.59	2.30
Ge	0.12	0.32	0.48	0.82	0.22	0.50	0.74	1.22
Zr	0.054	0.17	0.27	0.42	0.12	0.28	0.41	0.75
Nb	0.051	0.16	0.23	0.42	0.068	0.25	0.40	0.65
Mo	0.10	0.24	0.34	0.54	0.13	0.40	0.58	0.93
Ru	0.078	0.26	0.38	0.67	0.14	0.41	0.68	1.30
Rh	0.081	0.36	0.52	0.77	0.19	0.55	0.86	1.46
Pd	0.14	0.59	0.82	1.32	0.42	1.00	1.41	2.39
Ag	0.27	1.00	1.30	1.98	0.63	1.58	2.20	3.40
Hf	0.057	0.15	0.22	0.39	0.16	0.35	0.48	0.83
Ta	0.056	0.13	0.18	0.30	0.10	0.28	0.41	0.62
W	0.038	0.13	0.18	0.32	0.068	0.29	0.40	0.62
Re	0.04	0.15	0.24	0.42	0.10	0.37	0.56	0.91
Pt	0.12	0.31	0.44	0.70	0.20	0.63	0.95	1.56
Au	0.20	0.56	0.84	1.18	0.32	1.07	1.65	2.43

เนื่องจากสเปคตรัมเป็นกระบวนการเชิงจลน์ ซึ่งจะเกี่ยวข้องกับการแลกเปลี่ยนโมเมนตัมมากกว่าที่จะเป็นกระบวนการเชิงเคมีหรือเชิงความร้อน ดังนั้นวัสดุแทบทุกชนิดจึงสามารถนำมาสเปคตรัมได้ ถ้าสังเกตจากข้อมูลอัตราสเปคตรัมของโลหะข้างต้นจะเห็นว่า อัตราสเปคตรัมมีค่ารอบๆ 1 และแตกต่างกันในระดับขนาดไม่เกิน 10 เท่าเมื่อเปรียบเทียบระหว่างโลหะต่างชนิดกัน ลักษณะเช่นนี้ตรงกันข้ามกับกระบวนการระเหย (evaporation process) ซึ่งสำหรับโลหะต่างชนิดกันแล้ว ที่อุณหภูมิเดียวกันอัตราการระเหยอาจสูงกว่ากันถึงระดับขนาด 1000 เท่า หรืออาจทำให้โลหะชนิดหนึ่งระเหยได้แต่โลหะอีกชนิดหนึ่งยังไม่ระเหย จากลักษณะที่ครอบคลุมวัสดุอย่างกว้างขวางเช่นนี้ ทำให้สเปคตรัมเป็นที่น่าสนใจในการประยุกต์ใช้งาน

4. เทคนิคสเปคตรัมและการประยุกต์

การพิจารณาเกี่ยวกับการสเปคตรัมที่ผ่านมา ยังไม่มีการกล่าวถึงแหล่งกำเนิดของไอออนบวกซึ่งเป็นปัจจัยสำคัญของการกำเนิดกระบวนการ เทคนิคสเปคตรัมสามารถแบ่งเป็น 2 ประเภท ตามลักษณะแหล่งกำเนิดไอออนบวก ประเภทแรกเป็นการสเปคตรัมที่ใช้กลไกผลิตและเร่งไอออนบวกโดยตรงภายในโกลด์ิสชาร์จ เรียกว่า โกลด์ิสชาร์จสเปคตรัม (glow discharge sputtering) จากบทที่ 2 เราได้เห็นแล้วว่า ภายในดีซีโกลด์ิสชาร์จจะมีกระบวนการผลิตและเร่งไอออนบวกของกาซที่ใช้สำหรับการดิสชาร์จให้ชนกับผิวคาโรดตลอดเวลา พลังงานจลน์ของไอออนบวกขณะชนคาโรดมีค่าโดยประมาณเท่ากับพลังงานเนื่องจากการเร่งด้วยความต่างศักย์ของการดิสชาร์จ ซึ่งแปรค่าได้ตั้งแต่ไม่กี่ร้อยโวลต์จนระดับพันโวลต์ โดยขึ้นกับลักษณะสอของการดิสชาร์จ พลังงานระดับนี้สูงเพียงพอที่จะทำให้ไอออนบวกสามารถสเปคตรัมผิวคาโรดได้ ดังนั้นเราสามารถใช่ระบบดีซีโกลด์ิสชาร์จเป็นระบบสเปคตรัมได้ทันที เมื่อกำหนดให้คาโรดของการดิสชาร์จทำหน้าที่เป็นเป้าของการสเปคตรัมในขณะเดียวกัน สำหรับในอาร์เอฟโกลด์ิสชาร์จก็สามารถใช้สำหรับการสเปคตรัมได้เช่นกัน โดยอาศัยการเร่งไอออนบวกด้วย negative dc bias ซึ่งเกิดขึ้นที่ขั้วของการดิสชาร์จ

เทคนิคสเปคตรัมในดีซีโกลด์ิสชาร์จ เรียกว่า ดีซีโกลด์ิสชาร์จสเปคตรัม (dc glow discharge sputtering) หรือดีซีไดโอดสเปคตรัม (dc diode sputtering) ส่วนเทคนิคสเปคตรัมในอาร์เอฟโกลด์ิสชาร์จ เรียกว่า อาร์เอฟโกลด์ิสชาร์จสเปคตรัม (RF glow discharge sputtering) หรืออาร์เอฟไดโอดสเปคตรัม (RF diode sputtering) สำหรับเทคนิคสเปคตรัมที่ใช้โกลด์ิสชาร์จซึ่งทำงานภายใต้อิทธิพลของสนามแม่เหล็ก เรียกว่า ดีซี หรือ อาร์เอฟแมกเนตรอนสเปคตรัม (DC or RF magnetron sputtering) ขึ้นกับว่าโกลด์ิสชาร์จนั้นเป็นแบบดีซีหรืออาร์เอฟ

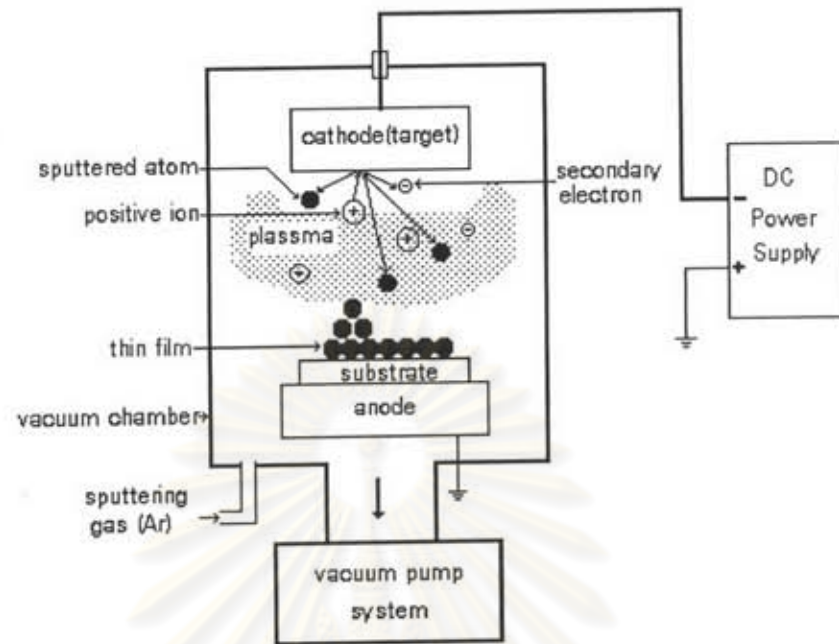
เทคนิคสเปตเตอริงอีกประเภทหนึ่งจะใช้วิธีเร่งไอออนบวกจากแหล่งกำเนิดภายนอกไปชนเป้าซึ่งอยู่ในภาชนะสุญญากาศ เรียกว่า สเปตเตอริงโดยลำไอออน (Ion beam sputtering) สิ่งนี้ที่เทคนิคนี้ต่างจากแบบแรก คือ เป้ากับแหล่งกำเนิดไอออนบวกจะแยกส่วนกัน โดยเป้าจะอยู่ในภาชนะสุญญากาศ โดยไม่สัมผัสกับโกลด์ดิสชาร์จและไม่ได้รับผลใดๆจากกระบวนการผลิตไอออนบวก

สเปตเตอริงได้รับการประยุกต์ใช้ในสองลักษณะคือ การกัดเซาะผิว(surface etching) และการเคลือบฟิล์มบาง (thin film deposition) [36] กรณีแรกผลที่ต้องการคือผิววัสดุภายหลังถูกสเปตเตอริง ได้แก่ การทำความสะอาด ลักษณะของผิวหน้าผลึก เป็นต้น กรณีหลังเป็นการใช้ประโยชน์อะตอมที่ถูกสเปตเตอริงออกจากผิววัสดุ โดยนำแผ่นวัสดุรองรับ (substrate) ไปรับและสะสมอะตอมที่หลุดจากเป้าในตำแหน่งที่เหมาะสม อะตอมเหล่านี้สามารถเคลื่อนที่ชนวัสดุรองรับและจับกันเป็นฟิล์มบางเคลือบบนผิวของวัสดุรองรับนั้น เทคนิคนี้เรียกว่า การเคลือบฟิล์มบางโดยวิธีสเปตเตอริง (sputtering deposition) ซึ่งเป็นการประยุกต์ใช้งานที่สำคัญของสเปตเตอริงในปัจจุบัน

การเคลือบฟิล์มบางโดยวิธีสเปตเตอริง

1. หลักการเบื้องต้น

การเคลือบฟิล์มบางโดยวิธีสเปตเตอริงต่อไปนี้จะหมายถึงการเคลือบฟิล์มบางในระบบโกลด์ดิสชาร์จเท่านั้น และเพื่อความสะดวกสำหรับอธิบายกลไกเคลือบฟิล์มจะอ้างถึงระบบเคลือบฟิล์มบางโดยวิธีสเปตเตอริงแบบพื้นฐานที่สุด คือ ระบบดีซีไดโอดสเปตเตอริง(dc diode sputtering system) ซึ่งแสดงดังรูปที่ 3.5 ประกอบด้วยเป้าสำหรับสเปตเตอริงซึ่งทำจากวัสดุต้นกำเนิดฟิล์มบาง เป้าทำหน้าที่เป็นคาโทดและต่อกับขั้วลบของแหล่งจ่ายไฟฟ้ากระแสตรง ส่วนวัสดุรองรับฟิล์มจะวางไว้ที่แอโนดและห่างจากคาโทดประมาณ 4-10 เซนติเมตร ส่วนประกอบทั้งหมดบรรจุในภาชนะสุญญากาศที่ถูกปั๊มตลอดเวลา ก๊าซสำหรับเป็นตัวสเปตเตอริง ได้แก่ ก๊าซอาร์กอน จะถูกเติมเข้าในภาชนะสุญญากาศ จนได้ระดับความดันใช้งาน (ระหว่าง 30-120 มิลลิทอร์ร) จากนั้นป้อนความต่างศักย์จากแหล่งจ่ายไฟฟ้าจนกระทั่งเกิดโกลด์ดิสชาร์จ (ในกรณีนี้คือ ดีซีโกลด์ดิสชาร์จ) ระหว่างเป้ากับแอโนด และสามารถรักษาสภาพที่กระแสและความต่างศักย์ของการดิสชาร์จคงที่ค่าหนึ่ง



รูปที่ 3.5 ระบบดีซีไดโอดสเปดเตอริง

ระหว่างที่ระบบรักษาสภาพการดีสชาร์จได้ด้วยตัวเอง ไอออนบวกที่ผลิตขึ้นในบริเวณ negative glow ถูกเร่งเข้าไปชนคาโทด(เป้า) ในขณะที่อิเล็กตรอนถูกเร่งเข้าหาแอโนด

เมื่อไอออนบวกชนเป้าทำให้เกิดปรากฏการณ์ที่จะเกี่ยวเนื่องและนำไปสู่การเคลือบฟิล์มบาง คือ การปลดปล่อยอิเล็กตรอนทุติยภูมิ และการสเปดเตอริงอะตอมของเป้า การปลดปล่อยอิเล็กตรอนทุติยภูมิมีบทบาทในกลไกรักษาสภาพการดีสชาร์จ คือ ทำให้การดีสชาร์จเกิดขึ้นอย่างต่อเนื่อง ส่วนอะตอมเป้าที่ถูกสเปดเตอริงจะเคลื่อนที่ออกจากเป้าในทิศทางแบบสุ่ม โดยส่วนหนึ่งสามารถไปถึงวัสดุรองรับและเริ่มก่อตัวเป็นฟิล์มบางขึ้น และโดยอาศัยการดีสชาร์จที่เกิดขึ้นต่อเนื่อง ในที่สุดจะได้ฟิล์มบางของวัสดุต้นกำเนิดฟิล์มที่มีเนื้อฟิล์มต่อเนื่องเคลือบบนผิวของวัสดุรองรับนั้น

จากสมบัติเฉพาะตัวของกระบวนการสเปดเตอริงที่เป็นกระบวนการเชิงกล ซึ่งผลิตอนุภาคต้นกำเนิดฟิล์มบางที่มีพลังงานจลน์สูงเมื่อเทียบกับกระบวนการระเหย(evaporation) และสามารถกระทำได้กับวัสดุหลายประเภท ทำให้การเคลือบฟิล์มบางโดยวิธีสเปดเตอริงมีข้อดีได้แก่

- ได้ฟิล์มที่มีความสม่ำเสมอสูง โดยเฉพาะอย่างยิ่งเมื่อเคลือบบนพื้นที่ขนาดใหญ่
- ได้ฟิล์มที่มีผิวเรียบ ยึดแน่นกับวัสดุรองรับ และควบคุมความหนาได้
- ได้ฟิล์มที่มีสมบัติใกล้เคียงกับสมบัติของวัสดุต้นกำเนิดฟิล์มที่อยู่ในรูป bulk

และมีเสถียรภาพดี

- ใช้งานได้กว้างขวางกับวัสดุหลายๆ ชนิด ทั้งโลหะ สารผสมหรือวัสดุที่เป็นฉนวน
- ให้อัตราเคลือบฟิล์มสูงเมื่อเทียบกับวิธีระเหย
- มีศักยภาพสูงในการขยายผลจากระดับงานวิจัยในระบบขนาดเล็กไปสู่การผลิต

ระดับอุตสาหกรรม

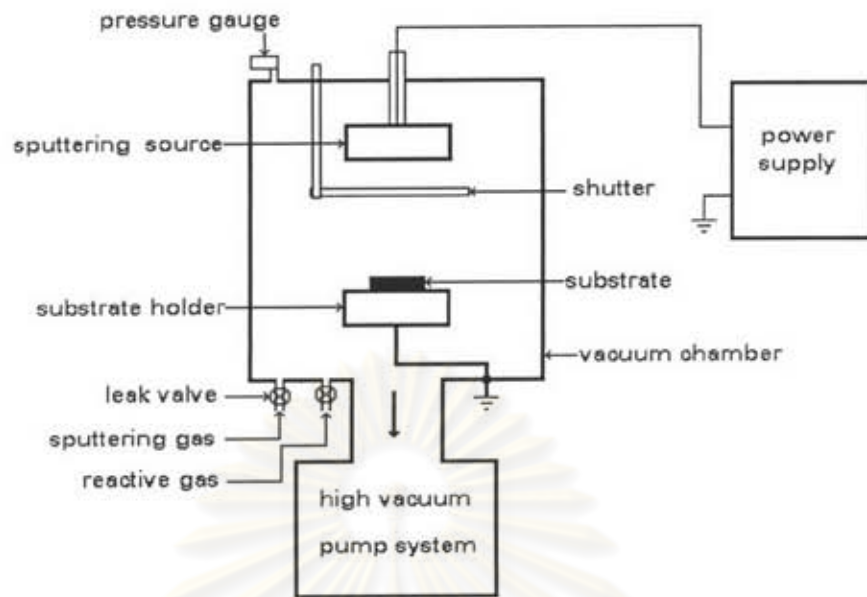
2. โครงสร้างระบบเคลือบฟิล์มบางโดยวิธีสปัตเตอร์ริง

ในปัจจุบันระบบเคลือบฟิล์มบางโดยวิธีสปัตเตอร์ริงหลายๆแบบได้รับการพัฒนาขึ้น ส่วนใหญ่มีชื่อเรียกตามลักษณะของโกลด์ิสชาร์จที่ใช้ ได้แก่ ระบบดีซีไดโอดสปัตเตอร์ริง ระบบอาร์เอฟสปัตเตอร์ริง ระบบดีซีแมกนีตรอนสปัตเตอร์ริง ระบบอาร์เอฟแมกนีตรอนสปัตเตอร์ริง เป็นต้น นอกจากนี้อาจมีชื่อเรียกตามสภาพการทำงานเฉพาะที่เพิ่มเติมหรือดัดแปลงขึ้นนอกเหนือจากหลักการพื้นฐานของโกลด์ิสชาร์จ ได้แก่ ระบบสปัตเตอร์ริงแบบรีแอคทีฟ(reactive sputtering) ระบบเลสปัตเตอร์ริงแบบไบแอส (bias sputtering) เป็นต้น อย่างไรก็ตามระบบเหล่านี้มีโครงสร้างมาตรฐานสามารถสรุปได้ดังรูปที่ 3.6 [37]

- ภาชนะสุญญากาศ (vacuum chamber) สำหรับบรรจุภาชนะของการดีสชาร์จและติดตั้งส่วนประกอบอื่น ๆ วัสดุสำหรับทำภาชนะสุญญากาศ ได้แก่ แก้ว เหล็กสแตนเลส หรือโลหะผสม ที่ผ่านการทดสอบความทนต่อสุญญากาศ

- ระบบปั๊มสุญญากาศ (high vacuum pump system)ซึ่งสามารถปั๊มลดความดันในภาชนะสุญญากาศ ก่อนที่จะเริ่มการเคลือบฟิล์มได้ถึงระดับ 10^{-6} ทอร์ร์ หรือต่ำกว่า โดยทั่วไปจะเป็นระบบที่ทำงานร่วมกันระหว่างปั๊มแบบโรตารีกับปั๊มแพรโอเนี่ยม หรือระบบผสมระหว่างปั๊มแบบโรตารีกับปั๊มเทอร์โบโมเลคิวลา

- หัววัดความดันก๊าซ (pressure gauge) ในภาชนะสุญญากาศพร้อมด้วยระบบวัดและแสดงผล ทั้งในย่านความดันต่ำ และความดันขณะใช้งาน



รูปที่ 3.6 ลักษณะทั่วไปของระบบเคลือบฟิล์มบางโดยการสputtering

- แหล่งกำเนิดการสputtering (sputtering source) ประกอบด้วยเป้าของการสputtering พร้อมกับแท่นยึด แบ่งตามชนิดของโกลด์ิสชาร์จได้เป็น 2 แบบคือ แหล่งกำเนิดแบบ DC กับแหล่งกำเนิดแบบ RF แต่ละแบบแยกย่อยเป็น non-magnetron หรือ magnetron
- แหล่งจ่ายไฟฟ้า (power supply) เพื่อกำเนิดโกลด์ิสชาร์จ โดยทั่วไปมีสองชนิดคือ ชนิดกระแสตรง (dc power supply) สำหรับระบบที่ใช้ดีซีโกลด์ิสชาร์จ กับชนิดกระแสสลับความถี่ 13.56 MHz (RF power supply) สำหรับระบบที่ใช้อาร์เอฟโกลด์ิสชาร์จ
- หน้ากาก (shutter) ใช้สำหรับเปิดปิดฟลักซ์ของอะตอมที่หลุดจากแหล่งกำเนิดการสputtering เพื่อควบคุมความหนาของฟิล์มบาง และสำหรับกั้นฟลักซ์ของอะตอมในขั้นตอนการสputtering เพื่อทำความสะอาดผิวหน้าของเป้า
- แท่นวางวัสดุรองรับ (substrate holder) สำหรับวางวัสดุรองรับฟิล์มและเป็นอานโอดของการดิสชาร์จ (เฉพาะในกรณีของดีซีโกลด์ิสชาร์จ)
- แหล่งก๊าซสputtering (sputtering gas) สมบัติของก๊าซสำหรับเป็นตัวสputtering คือ ไม่ทำปฏิกิริยากับเป้าหรือฟิล์มบางที่เกิดขึ้น หรือส่วนประกอบอื่นๆภายในภาชนะสุญญากาศ และ ระบบปั๊มสุญญากาศ นอกจากนี้ต้องเป็นก๊าซไม่เป็นพิษ และควรมีมวลมากเพื่อสามารถให้อัตราสputtering สูง ก๊าซอาร์กอนแม้จะไม่ใช่ก๊าซเฉื่อยซึ่งอะตอมมีมวลมากที่สุด แต่เนื่องจากไม่เป็นพิษ จัดหาง่ายและราคาถูก จึงเป็นที่ใช้กันทั่วไป

นอกจากนี้อาจมีส่วนประกอบเพิ่มเติมสำหรับระบบที่มีจุดประสงค์การทำงานเฉพาะอย่าง เช่น เพื่อการปรับปรุงสมบัติของฟิล์มบาง ส่วนประกอบเหล่านี้ได้แก่

- ตัวทำความร้อน(heater) สำหรับเพิ่มอุณหภูมิวัสดุรองรับพร้อมด้วยระบบวัดและควบคุมอุณหภูมิ
- แหล่งจ่ายไฟฟ้าไบแอส สำหรับป้องกันความต่างศักย์ให้กับวัสดุรองรับในกรณีของระบบสปีดเตอริงแบบไบแอส
- เครื่องวิเคราะห์ก๊าซ หรือ optical emission monitor สำหรับวัด partial pressure และ ฟลักซ์ของอะตอมซึ่งถูกสปีดเตอริง
- แหล่งกำเนิดไอออนบวกที่แยกส่วนจากระบบโกลด์ดิสชาร์จ ใช้สำหรับกระแทกฟิล์มในระหว่างที่กำลังเคลือบ
- แหล่งก๊าซไวปฏิกิริยา(reactive gas) ได้แก่ ออกซิเจน ไนโตรเจน สำหรับระบบสปีดเตอริงแบบรีแอคทีฟ
- ระบบควบคุมการทำงานอัตโนมัติ

อาจกล่าวได้ว่า ระบบเคลือบฟิล์มบางโดยวิธีสปีดเตอริงส่วนใหญ่มีโครงสร้างหลักเหมือนกัน คือ ภาชนะสุญญากาศ และระบบสุญญากาศ และในทางปฏิบัติเมื่อมีการกล่าวถึงระบบสปีดเตอริง มักจะไม่เอ่ยถึง โครงสร้างเหล่านี้ แต่จะหมายความถึงรูปแบบของแหล่งกำเนิดการสปีดเตอริงและแหล่งจ่ายกำลังไฟฟ้ามากกว่า ระบบที่ทันสมัยในปัจจุบันมักออกแบบให้เป็นระบบเอนกประสงค์ คือ สามารถปรับเปลี่ยนให้ทำงานได้หลายๆ แบบโดยการสับเปลี่ยนเฉพาะแหล่งกำเนิดของการสปีดเตอริง เป้าของการสปีดเตอริงหรือแหล่งจ่ายไฟฟ้า ส่วนโครงสร้างหลักอื่นๆยังคงเดิม

3. อัตราเคลือบฟิล์ม

การเพิ่มความหนาของฟิล์มต่อหนึ่งหน่วยเวลาหรืออัตราเคลือบฟิล์ม น่าจะเป็นสิ่งแรกที่เป็นจุดสนใจเมื่อมีการเคลือบฟิล์มบางหรือใช้งานระบบเคลือบฟิล์มบาง พิจารณาจากกลไกและสภาพแวดล้อมของการเคลือบฟิล์ม กล่าวได้ว่า ในระบบเคลือบฟิล์มบางโดยวิธีสปีดเตอริงจะมีอัตราเคลือบฟิล์มขึ้นกับปริมาณของอะตอมของเป้าซึ่งถูกสปีดเตอริง และการขนส่งอะตอมเหล่านี้ไปยังวัสดุรองรับ เราจะได้อัตราเคลือบฟิล์มสูงถ้าอะตอมของเป้าถูก

สปีดเตอร์ออกมาได้มากและสามารถเคลื่อนที่ไปยังวัสดุรองรับได้สะดวก อัตราเคลือบฟิล์มจะสัมพันธ์กับสภาวะของโกลดิสซาร์จ คือ กระแส และความต่างศักย์และความดันก๊าซ ตลอดจนลักษณะของระบบเคลือบฟิล์ม เช่น ระยะระหว่างเป้ากับวัสดุรองรับ เป็นต้น

กระแสของการดิสซาร์จเป็นตัวชี้ปริมาณของไอออนบวกที่ชนเป้า ซึ่งจะส่งผลถึงปริมาณของอะตอมที่ถูกสปีดเตอร์ และต่อเนื่องถึงปริมาณอะตอมที่สามารถไปถึงวัสดุรองรับ ดังนั้น อัตราเคลือบฟิล์มจึงขึ้นกับกระแสการดิสซาร์จ

ความต่างศักย์ของการดิสซาร์จเป็นพารามิเตอร์ที่กำหนดพลังงานของไอออนบวกขณะชนเป้าขณะเดียวกันพลังงานไอออนบวกจะส่งผลต่ออัตราสปีดเตอร์ ในหัวข้อ "อัตราสปีดเตอร์" หน้า 43 ได้แสดงข้อมูลให้เห็นว่า ในช่วงพลังงานของไอออนบวกระหว่าง 100-1000 อิเล็กตรอนโวลต์ อัตราสปีดเตอร์จะสูงขึ้นแบบเชิงเส้น ดังนั้นการเพิ่มความต่างศักย์จะมีผลให้อัตราเคลือบฟิล์มสูงขึ้นในที่สุด อย่างไรก็ตามการเพิ่มความต่างศักย์ ก็อาจเป็นสาเหตุที่ไปลดอัตราเคลือบฟิล์ม โดยเฉพาะในระบบที่มีความดันก๊าซสำหรับการสปีดเตอร์ต่ำ ทั้งนี้เนื่องจากไอออนบวกพลังงานสูงสามารถทำให้อะตอมจากการสปีดเตอร์ที่ไปกระทบเป้ามียังพลังงานจลน์สูงพอที่จะสปีดเตอร์ฟิล์มได้

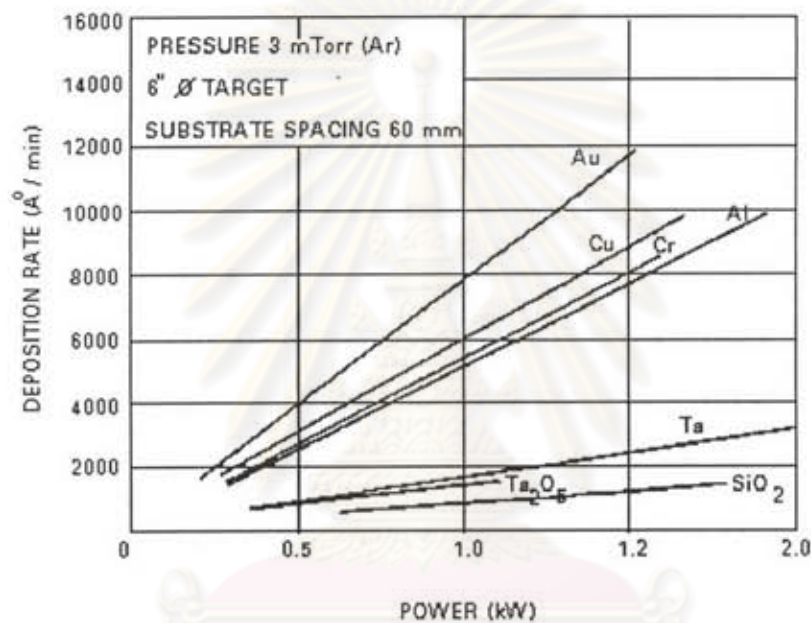
อะตอมที่ถูกสปีดเตอร์จะชนกับโมเลกุลของก๊าซในระหว่างเคลื่อนที่ออกจากเป้าไปยังวัสดุรองรับ โดยที่ความถี่ของการชนสูงขึ้นเมื่อความดันก๊าซเพิ่มขึ้น ผลการชนคือ ทำให้อะตอมเหล่านี้กระเจิงและเปลี่ยนทิศทาง อะตอมของเป้าที่ถูกสปีดเตอร์สามารถเคลื่อนที่ถึงวัสดุรองรับโดยตรงเมื่อความดันก๊าซต่ำ และจะอยู่ในลักษณะการแพร่ที่ความดันสูง ดังนั้นการเพิ่มความดันก๊าซจะลดโอกาสที่อะตอมเคลื่อนที่ถึงวัสดุรองรับ ทำให้อัตราเคลือบฟิล์มลดลง การเพิ่มระยะห่างจากเป้าถึงวัสดุรองรับ จะส่งเสริมผลของการกระเจิงของอะตอมที่ถูกสปีดเตอร์กับอะตอมก๊าซ [38] ทำให้อัตราเคลือบฟิล์มลดลง

แม้ว่ากระแส ความต่างศักย์ และความดันก๊าซของการดิสซาร์จ ต่างก็มีอิทธิพลต่ออัตราเคลือบฟิล์ม แต่เนื่องจากเป็นปริมาณซึ่งขึ้นต่อกัน ดังนั้นการสังเกตผลกระทบของตัวแปรตัวใดตัวหนึ่งต่ออัตราเคลือบฟิล์มอย่างอิสระจึงไม่สามารถทำได้ ในทางปฏิบัติมักเลือกที่จะละเลยตัวแปรที่มีผลน้อยที่สุด ควบคุมตัวแปรอีกตัวให้คงที่ไว้แล้วจึงศึกษาผลจากตัวแปรที่สนใจ เช่น วัดอัตราเคลือบฟิล์มในเทอมความสัมพันธ์กับกระแสการดิสซาร์จที่ความดันคงที่ นอกจากนี้อาจวัดอัตราเคลือบฟิล์มในเทอมความสัมพันธ์กับกำลังไฟฟ้าที่ความดันคงที่ ซึ่งจะเป็นการรวมผลของกระแสและความต่างศักย์ของการดิสซาร์จเข้าด้วยกัน วิธีนี้ใช้มากโดยเฉพาะในระบบอาร์เอฟสปีดเตอร์

ความสัมพันธ์ระหว่างอัตราเคลือบฟิล์มบาง(R) กับกระแส (I) และ ความต่างศักย์ (V) ของการดิสชาร์จ ความดันก๊าซ(P) และระยะจากเป้าถึงวัสดุรองรับ(l) สามารถเขียนโดยประมาณในรูป

$$R \propto \frac{IV}{Pl}$$

ความสัมพันธ์นี้สอดคล้องกับข้อมูลจากการทดลองส่วนใหญ่ ซึ่งแสดงว่าอัตราเคลือบฟิล์มบางขึ้นกับกำลังไฟฟ้าแบบเชิงเส้น ดังตัวอย่างในรูปที่ 3.7



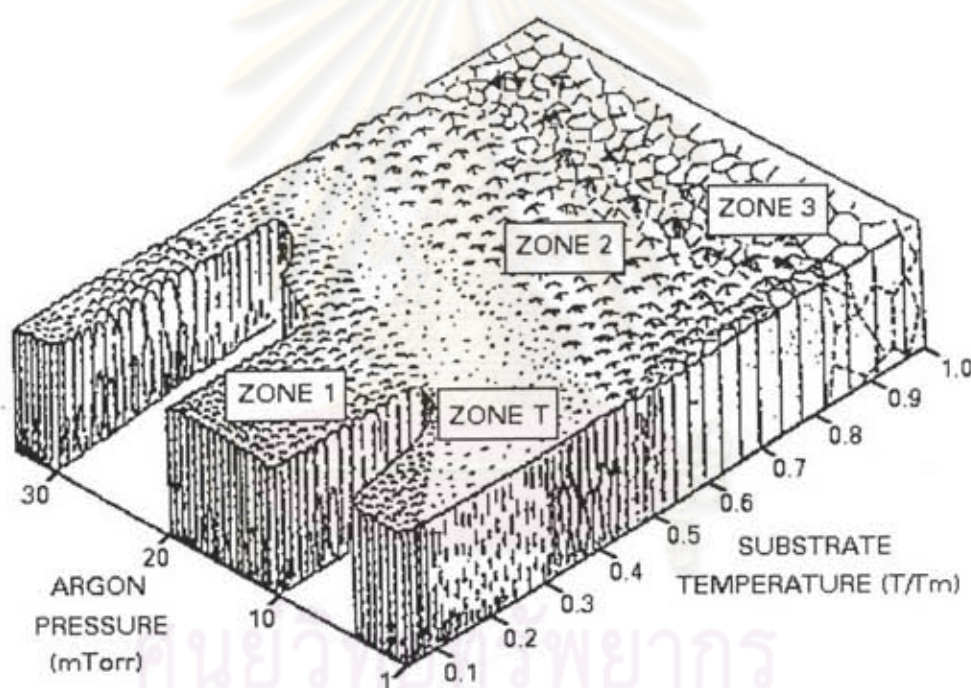
รูปที่ 3.7 อัตราเคลือบฟิล์มในระบบสปัตเตอร์แบบแมกนีตรอนระนาบ [39]

4. โครงสร้างจุลภาคของฟิล์มบาง (microstructure of thin film)

เมื่ออะตอมของการเคลือบตกกระทบวัสดุรองรับ สภาพเคลื่อนที่ได้ของอะตอมเหล่านี้ในขณะที่ก่อตัวเป็นฟิล์มบางจะเป็นตัวแปรสำคัญที่กำหนดโครงสร้างจุลภาคของฟิล์มบางในขั้นสุดท้าย [40] ฟิล์มบางจะเกิดโครงสร้างสมบูรณ์หรือมีความบกพร่องน้อย ถ้าอะตอมของการเคลือบสามารถเคลื่อนที่หรือแพร่ได้ดี เนื่องจากไปเพิ่มโอกาสการจัดเรียงอย่างเป็นระเบียบ

ในระบบเคลือบฟิล์มบางโดยวิธีสปัตเตอร์ริง สภาพเคลื่อนที่ได้ของอะตอมบนผิว วัสดุรองรับและผิวฟิล์มที่กำลังก่อตัวจะได้รับอิทธิพลจาก ธรรมชาติและอุณหภูมิของวัสดุรองรับ และอิทธิพลจากสภาพแวดล้อมของโกลวดิสชาร์จ ซึ่งทำให้ฟิล์มที่กำลังก่อตัวถูกชนด้วยของ อนุภาคต่างๆ ตลอดเวลา เช่น อะตอมจากการสปัตเตอร์ อิเล็กตรอน อะตอมก๊าซที่เป็นกลาง และโดยเฉพาะอย่างยิ่งการชนของไอออนบวก

โครงสร้างจุลภาคของฟิล์มบางจากการสปัตเตอร์ สามารถแบ่งได้เป็น 4 โซน ตาม อัตราส่วน T_s/T_m และความดันก๊าซอาร์กอน โดย T_s เป็นอุณหภูมิของวัสดุรองรับ และ T_m เป็น จุดหลอมเหลวของวัสดุตั้งก้ำเน็ดฟิล์ม [41] แสดงดังรูปที่ 3.8



รูปที่ 3.8 แบบจำลองโซน (Zone model) แสดงอิทธิพลของอุณหภูมิของวัสดุรองรับ และความดันก๊าซอาร์กอน ที่มีต่อโครงสร้างของฟิล์มบางของโลหะที่เคลือบโดยวิธีสปัตเตอร์ริง

โครงสร้างโซน 1 ประกอบด้วยแท่ง grain เรียว(tapered column grain) เรียงกันอย่างหลวมๆ ระหว่าง grain เหล่านี้มีช่องว่าง (void) ค่อนข้างมาก พิล์มโครงสร้างแบบนี้เกิดขึ้นเมื่ออัตราส่วน T_s/T_m มีค่าน้อยกว่า 0.3 ความดันสูงกว่า 10 มิลลิทอร์รี่ เนื่องจากอุณหภูมิระดับนี้สภาพเคลื่อนที่ได้ของอะตอมบนผิววัสดุรองรับหรือผิวฟิล์มที่กำลังก่อตัวน้อยมาก และไม่สามารถขจัดอิทธิพลการบัง (shadowing effect) ทำให้อะตอมของการเคลือบส่วนใหญ่เกาะติดตรงจุดสูงของผิวหน้าฟิล์มและมีส่วนน้อยที่สามารถเข้าถึงส่วนที่เป็นหลุม (Valleys) ปรากฏการณ์เช่นนี้จะมากขึ้นในกรณีที่มีมุมตกกระทบของอะตอมของการเคลือบเป็นมุมเอียง สิ่งที่สามารถลดการเคลื่อนที่ได้ของอะตอมบนผิวฟิล์มหรือเบนทิศตกกระทบของอะตอมออกจากแนวตั้งฉากจะเป็นปัจจัยส่งเสริมการเติบโตของฟิล์มโครงสร้างโซน 1 ได้แก่ ความขรุขระของวัสดุรองรับ การเพิ่มความดันก๊าซเป็นต้น พิล์มซึ่งมีโครงสร้างโซน 1 มีผิวหน้าขรุขระ เสถียรภาพต่ำ โครงสร้างภายในของผลึกไม่ชัดเจน (poorly defined) และสมบัติต่างจาก สมบัติของ Bulk มาก

โครงสร้างโซน 2 ประกอบด้วย column grains อัดกันค่อนข้างแน่น เกิดขึ้นเมื่อ T_s/T_m มีค่าระหว่าง 0.3-0.5 อุณหภูมิวัสดุรองรับระดับนี้ทำให้อะตอมของการเคลือบสามารถแพร่บนผิวฟิล์มได้มากขึ้นและเป็นพารามิเตอร์เด่นของการปลูกฟิล์ม การเติมอะตอมในที่ว่างเกิดขึ้นอย่างมีประสิทธิภาพ ขนาดความกว้างของ grain เพิ่มขึ้นตามอุณหภูมิวัสดุรองรับและอาจขยายขนาดได้ยาวตลอดตามแนวความหนาของฟิล์ม พิล์มบางในโครงสร้างโซน 2 แสดงความแกร่งเชิงกลสูง

โครงสร้างโซน 3 เกิดขึ้นเมื่อ T_s/T_m สูงกว่า 0.5 ซึ่งเป็นระดับที่ทำให้ bulk diffusion มีอิทธิพลสำคัญต่อโครงสร้างชั้นสุดท้ายของฟิล์ม พิล์มจะบางประกอบด้วย grain สม่่าเสมอและมีสมบัติใกล้เคียงกับ bulk

โครงสร้างโซน T (transition) ประกอบด้วย poorly defined fibrous grains อัดกันแน่น โดยไม่มีช่องว่างตรงรอยต่อ ลักษณะโครงสร้างแบบนี้นิยามได้ว่าเป็นรูปแบบจำกัด (limit form) ของฟิล์มในโครงสร้างโซน 1 ที่เคลือบบนวัสดุรองรับที่มีความเรียบอนันต์และอัตราส่วน T_s/T_m เป็นศูนย์ การเคลือบในช่วงอุณหภูมิเดียวกันสามารถเปลี่ยนโครงสร้างจากโซน 1 เป็นโครงสร้างโซน T ได้ ถ้าอะตอมของการเคลือบตกกระทบตั้งฉากบนวัสดุรองรับซึ่งมีผิวเรียบและมีพลังงานจลน์ขณะตกกระทบสูง หรือมีปัจจัยเสริมการแพร่ของอะตอมบนผิวฟิล์มให้สูงพอจนสามารถเอาชนะความขรุขระของผิววัสดุรองรับและการจับกลุ่มของอะตอมตอนเริ่มต้น ลักษณะเด่นของฟิล์มบางโครงสร้างโซน T คือ เป็นฟิล์มผิวเรียบ ความหนาแน่นสูง

โครงสร้างจุลภาคของฟิล์มบางที่เคลือบภายใต้สภาวะแวดล้อมของโกลวดิสชาร์จ จะได้รับอิทธิพลอย่างมากจากการกระแทกฟิล์มด้วยอนุภาคต่างๆที่มีในโกลวดิสชาร์จ ที่สำคัญคือ การกระแทกของไอออนบวก (Ion bombardment) สมบัติของฟิล์มบางที่เหมาะสมกับการใช้งาน หลายๆด้าน เป็นผลของการกระแทกฟิล์มด้วยไอออนบวก ได้แก่ สภาพต้านทานไฟฟ้า ความแข็ง และความเค้นภายใน สภาพสะท้อนแสง ความหนาแน่นและการยึดแน่นแน่นกับวัสดุรองรับ

โดยปกติวัสดุรองรับซึ่งไม่เชื่อมต่อทางไฟฟ้าหรือเป็นฉนวนที่สัมผัสกับโกลวดิสชาร์จ จะถูกชนด้วยไอออนบวกตลอดเวลา เนื่องจากถูกประจุ (charged) ให้มีความต่างศักย์ไฟฟ้าเป็นลบ เมื่อเทียบกับศักย์ของพลาสมา (ดูหัวข้อ "การกระจายความต่างศักย์และสนามไฟฟ้าในดิสชาร์จ" บทที่ 2) ความต่างศักย์นี้สามารถเร่งไอออนบวกจากบริเวณพลาสมาของโกลวดิสชาร์จ ให้ชนผิวฟิล์มที่กำลังก่อตัวด้วยพลังงานจลน์ระหว่าง 5-30 eV การชนผิวฟิล์มที่กำลังก่อตัวด้วย ไอออนบวกเป็นกลไกในระบบสปีดเตอริงที่ทำให้เกิดฟิล์มโครงสร้างอัดแน่นโซน T เนื่องจาก พลังงานจลน์ของไอออนบวกที่ถ่ายเทให้กับอะตอมบนผิวฟิล์ม จะทำให้สภาพเคลื่อนที่ได้ของ อะตอมเหล่านี้สูงขึ้น ไอออนบวกที่ชนสามารถกัดเซาะฟิล์มบริเวณที่ขรุขระและเกลี่ยอะตอม ให้ลงส่วนบริเวณที่เป็นหลุม หรือสามารถกระแทกอะตอมให้ฝังในเนื้อฟิล์ม (recoil implantation) จึงมักพบว่าการเคลือบฟิล์มบางในระบบสปีดเตอริงที่อุณหภูมิของวัสดุรองรับต่ำ จะได้ฟิล์มโครงสร้างโซน T แทนโครงสร้างโซน 1

ระดับพลังงานจลน์ของไอออนบวกที่กระแทกฟิล์มสามารถเพิ่มได้โดยตรงด้วยการ บ้อนศักย์ไฟฟ้าลบแยกต่างหากให้กับวัสดุรองรับ เทคนิคนี้ใช้กันมากในการปรับสมบัติของ ฟิล์มบางให้เข้าใกล้กับ Bulk เรียกว่า เทคนิคการไบแอส (Bias technique) ซึ่งเป็นที่มาของระบบ สปีดเตอริงแบบไบแอส การไบแอสจะมีขอบเขตจำกัดคือ ความต่างศักย์ที่บ้อนให้กับวัสดุรองรับ ต้องไม่ทำให้พลังงานของไอออนบวกสูงถึงขนาดที่ทำให้ฟิล์มถูกสปีดเตอริง หรือเกิดการฝังตัวของ ไอออนบวกในเนื้อฟิล์ม โดยทั่วไปใช้ระหว่าง -30 ถึง -300 โวลท์

ความดันก๊าซเป็นอีกปัจจัยหนึ่งที่มีอิทธิพลต่อโครงสร้างของฟิล์มบาง อะตอมของ ก๊าซที่เป็นกลางซึ่งเป็นอนุภาคส่วนใหญ่ในโกลวดิสชาร์จ เป็นตัวทำให้เกิดการกระเจิงของอะตอม จากการสปีดเตอริงและอนุภาคอื่นๆ ที่เดินทางไปยังวัสดุรองรับ ส่งผลในการลดพลังงานจลน์ และกระจายทิศทางตกกระทบของอนุภาคเหล่านั้น [38] ลดอิทธิพลจากการชนของไอออนบวก ดังนั้นการเคลือบฟิล์มภายใต้ความดันก๊าซสูงจึงมักจะได้ฟิล์มบางที่มีโครงสร้างโซน 1 การลด ความดันก๊าซจะส่งเสริมการเกิดฟิล์มโครงสร้าง อัดแน่นแบบโซน T หรือแม้แต่โครงสร้างโซน 2 หรือโซน 3

ระบบสปีดเตอริงแบบดีซีแมกนิตรอน

ระบบดีซีแมกนิตรอนสปีดเตอริงเป็นระบบเคลือบฟิล์มบางแบบหนึ่งที่พัฒนามาจากระบบดีซีไดโอดสปีดเตอริง โดยมีส่วนเพิ่มเติม คือ การใส่สนามแม่เหล็กแนวขนานที่บริเวณเหนือคาโรด(เป้า) ผลจากสนามแม่เหล็กนี้ทำให้การเคลื่อนที่ของอิเล็กตรอนทุติยภูมิที่หลุดจากคาโรดเปลี่ยนไป โดยจะถูกบังคับให้เคลื่อนที่เป็นรูปไซคลอยด์ กระโดดไปบนผิวคาโรดตามแนวของสนาม $E \times B$ และค่อยๆ เลื่อนตัดสนามแม่เหล็กเข้าหาอานในดอย่างช้าๆ โดยอาศัยชนกับอนุภาคของก๊าซ ดังรายละเอียดที่เสนอไว้ในหัวข้อสุดท้ายของบทที่ 2 ลักษณะการพยายามกักอิเล็กตรอนทำให้อิเล็กตรอนมีโอกาสจะไอออไนซ์อะตอมก๊าซได้มากขึ้น ซึ่งส่งผลต่อสมบัติของโกลวดิสชาร์จ และทำให้โกลวดิสชาร์จแบบดีซีแมกนิตรอนมีข้อได้เปรียบหลายประการ เมื่อเทียบกับแบบดีซีไดโอด เช่น สามารถลดความดันก๊าซสำหรับสร้างการดิสชาร์จได้ถึงระดับต่ำกว่า 10 มิลลิทอร์ร์ สามารถลดความต่างศักย์และเพิ่มกระแสของการดิสชาร์จที่ความดันก๊าซเท่ากัน เพิ่มอัตราการสปีดเตอริงและอัตราการเคลือบฟิล์ม เป็นต้น

1. อิทธิพลของสนามแม่เหล็กต่อลักษณะส่อของการดิสชาร์จ

การเพิ่มโอกาสสร้างการไอออไนซ์ของอิเล็กตรอนเนื่องจากสนามแม่เหล็กขนานกับคาโรดสามารถทำให้การดิสชาร์จสามารถเกิดได้ในช่วงความดันต่ำเมื่อเทียบกับดีซีโกลวดิสชาร์จ ซึ่งอาจพิจารณาในเชิงคุณภาพได้ว่า เป็นการเพิ่มความดันก๊าซยังผล (effective gas pressure: P_e) ให้กับอิเล็กตรอน โดยคำนวณได้จากสมการ [42]

$$P_e = P[1 + (\omega\tau)^2]^{1/2} \quad (3.3)$$

โดย P เป็นความดันจริง

ω เป็นความถี่ไซโคลตรอนของอิเล็กตรอน

τ เป็นเวลาอิสระเฉลี่ยของอิเล็กตรอน

$$\begin{aligned} \text{จาก} \quad \omega &= \frac{eB}{m} \\ \text{และ} \quad \tau &= \frac{\lambda_0}{P \left[\frac{2e}{m} V_a \right]^{1/2}} \end{aligned}$$

โดย (e/m) เป็นค่าประจุต่อมวลของอิเล็กตรอน

λ_0 และ V_a เป็นระยะทางอิสระเฉลี่ยของอิเล็กตรอนที่ 1 torr และ ความต่างศักย์ของการดิสชาร์จตามลำดับ

จะได้

$$\omega\tau = \left(\frac{e}{m}\right)^{1/2} \frac{\lambda_0 B}{(2V_a)^{1/2} P} \quad (3.4)$$

แทนค่า $\omega\tau$ จากสมการ (3.4) ในสมการ (3.3) จะได้

$$P_e = \left[P^2 + \left(\frac{e}{m}\right) \frac{\lambda_0^2 B^2}{2V_a} \right]^{1/2} \quad (3.5)$$

สำหรับกาซอาร์กอนความดัน 1×10^5 ทอร์รี่ $\lambda_0 = 5 \times 10^2$ เซนติเมตร $V_a = 1000$ โวลท์ และสนามแม่เหล็กขนาด 100 เกาส์ โดยสมการ (3.5) คำนวนความดันยังผลได้เป็น 5×10^2 ทอร์รี่ หมายความว่า ความน่าจะเป็นของการชนระหว่างอิเล็กตรอนกับอะตอมของกาซที่ความดัน 1×10^5 ทอร์รี่ ในสนามแม่เหล็กขนาด 100 เกาส์ จะเท่ากับที่ความดัน 5×10^2 ทอร์รี่ เมื่อไม่มีสนามแม่เหล็ก หรือกล่าวได้ว่า ที่ความดันกาซและความต่างศักย์เท่ากันสนามแม่เหล็ก 100 เกาส์ สามารถเพิ่มโอกาสการไอออไนซ์ได้สูงกว่าเมื่อไม่มีสนามแม่เหล็กประมาณ 5000 เท่า

จากการคำนวณข้างต้นจะเห็นว่า สนามแม่เหล็กแนวขนานช่วยให้การดิสชาร์จสามารถเกิดขึ้นได้ที่ความดันต่ำมาก โดยทั่วไปสามารถลดความดันได้ต่ำกว่า 10 มิลลิทอร์รี่ ทั้งนี้ขึ้นอยู่กับความเข้มสนามแม่เหล็กที่ใช้ด้วย ระดับการไอออไนซ์ที่สูงขึ้นเนื่องจากสนามแม่เหล็ก จะทำให้สภาพนำไฟฟ้าของโกลวดิสชาร์จสูงขึ้น ส่งผลให้กระแสการดิสชาร์จสูงขึ้นและความต่างศักย์ของการดิสชาร์จลดลงเมื่อใช้ความดันกาซและกำลังไฟฟ้าเท่าเดิม ข้อสังเกตในสมการ (3.5) คือ ถ้าความเข้มสนามแม่เหล็กคงที่แล้ว การเพิ่มความต่างศักย์ของการดิสชาร์จจะมีผลในการลดลงของความดันยังผลของอิเล็กตรอน

2. อิทธิพลของสนามแม่เหล็กต่ออัตราเคลือบฟิล์ม

การกักอิเล็กตรอนในบริเวณใกล้ผิวเป้าโดยสนามแม่เหล็กแนวขนานทำให้การไหล มีความเข้มข้นมากใกล้ๆกับผิวเป้า ไอออนบวกที่ถูกผลิตจากการไหลในบริเวณนี้ส่วนใหญ่จะถูกเร่ง ผ่าน cathode sheath และชนเป้าด้วยพลังงานจากความต่างศักย์ทั้งหมดของการดิสชาร์จ ซึ่งโดยทั่วไปมีค่าระหว่าง 200-1000 โวลต์ ค่านี้สอดคล้องกับพลังงานของไอออนบวก 200-1000 อิเล็กตรอนโวลต์ ซึ่งเป็นระดับที่ทำให้การสเปคเตอร์มีประสิทธิภาพมากที่สุดสำหรับวัสดุหลายชนิด เช่น อลูมิเนียม ทองแดง เป็นต้น นอกจากนี้เนื่องจากสภาพเคลื่อนที่ได้ของอิเล็กตรอนในทิศ ตั้งฉากกับเป้าลดลง กระแสการดิสชาร์จที่วัดได้ส่วนใหญ่จึงเป็นกระแสของไอออนบวกที่ชน กับคาโทด ซึ่งทั้งขนาดพลังงานจลน์ของไอออนบวกขณะชนเป้าที่เหมาะสมและสัดส่วนกระแส ไอออนบวกที่เพิ่มขึ้น ทำให้ได้อัตราการสเปคเตอร์สูง

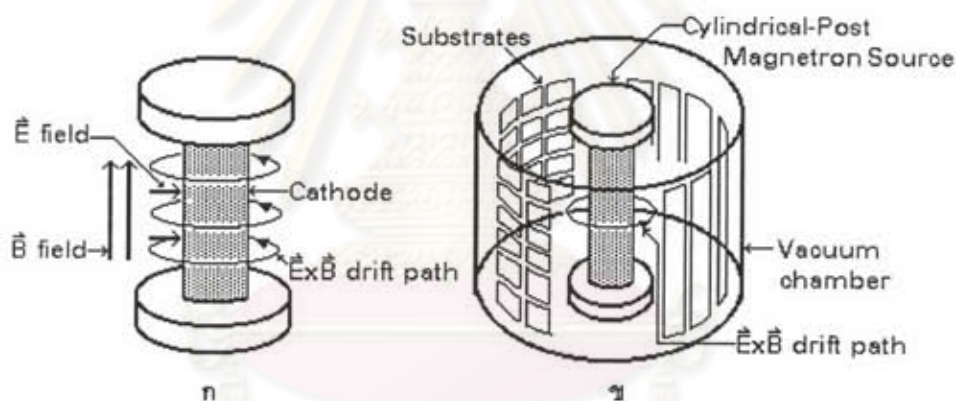
เนื่องจากการดิสชาร์จสามารถเกิดขึ้นที่ความดันก๊าซต่ำ อะตอมที่ถูกสเปคเตอร์จาก เป้ามีการกระเจิงน้อยมาก ส่วนใหญ่จะไปถึงวัสดุรองรับโดยตรง ลักษณะเช่นนี้เมื่อรวมกับการที่อัตราการสเปคเตอร์สูงดังเหตุผลข้างต้น ทำให้ระบบเคลือบฟิล์มบางแบบดีซีแมกเนตรอน สเปคเตอร์มีอัตราการเคลือบฟิล์มสูงมาก สามารถเพิ่มถึงระดับ 1 ไมครอนต่อนาที (ดังตัวอย่าง ในรูปที่ 3.7) ซึ่งคิดเป็นประมาณ 10 เท่าของอัตราเคลือบที่ได้จากระบบดีซีไดโอดทั่วไป

3. ประเภทของระบบดีซีแมกเนตรอนสเปคเตอร์

เมื่อกล่าวถึงประเภทของระบบดีซีแมกเนตรอนสเปคเตอร์ มักจะหมายถึง รูปแบบ ของแหล่งกำเนิดการสเปคเตอร์ (sputtering source) ในระบบนั้น แหล่งกำเนิดการสเปคเตอร์ แบบดีซีแมกเนตรอนรูปแบบต่างๆได้รับการพัฒนาขึ้น โดยมีหลักการพื้นฐานเดียวกันที่มุ่งใช้ ประโยชน์จากการกักอิเล็กตรอนด้วยสนามแม่เหล็กแนวขนานกับผิวเป้า พิจารณาได้จากการจัด วางแนวของสนามแม่เหล็กบนผิวเป้าจะอยู่ในลักษณะเหมือนกัน คือ ทำให้แนวของสนาม $\vec{E} \times \vec{B}$ เป็นเส้นทางปิดบนผิวเป้าเพื่อให้การกักอิเล็กตรอนมีประสิทธิภาพสูงสุด

แหล่งกำเนิดการสเปคเตอร์แบบดีซีแมกเนตรอนสามารถแบ่งได้เป็น 2 แบบ คือ แมกเนตรอนทรงกระบอก (cylindrical magnetron) กับแมกเนตรอนระนาบ (planar magnetron)

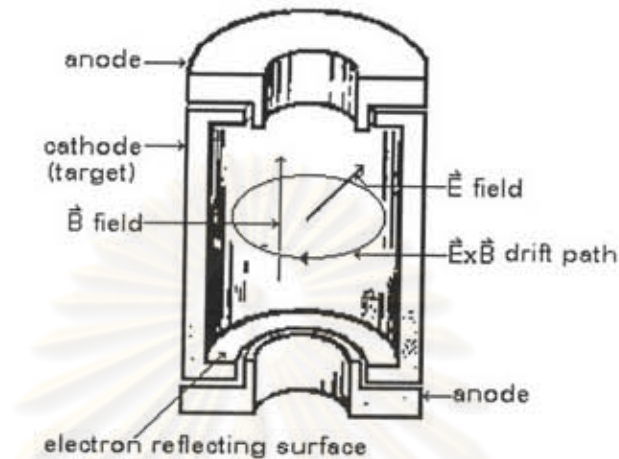
แหล่งกำเนิดการสปีดเตอร์แบบดีซีแมกนีตรอนทรงกระบอก แบ่งได้เป็นสองแบบ แบบแรกเรียกว่า cylindrical-post magnetron มีลักษณะดังรูปที่ 3.9 เป้าเป็นทรงกระบอก ซึ่งวางอยู่ในแนวแกนกลางของภาชนะสุญญากาศ สนามแม่เหล็กขนาดความเข้มสม่ำเสมอ วางตัวในแนวขนานกับผิวเป้าตามแนวแกนของทรงกระบอก ส่วนสนามไฟฟ้าอยู่ในแนวรัศมีของทรงกระบอก การวางตัวของสนามแม่เหล็กและสนามไฟฟ้าแบบนี้จะทำให้แนวของสนาม $\vec{E} \times \vec{B}$ เป็นเส้นทางปิดวนรอบผิวเป้า โดยอยู่บนระนาบที่ตั้งฉากกับแกนทรงกระบอก การกักอิเล็กตรอน จะเกิดขึ้นสม่ำเสมอทั่วผิวเป้าซึ่งเป็นผลดีคือ ทำให้ความเข้มของการดิสชาร์จ ตลอดจนบริเวณ การสปีดเตอร์ครอบคลุมบนผิวเป้าเท่าๆ กันทุกส่วน จึงสามารถใช้ประโยชน์เป้าได้เต็มพื้นที่ แหล่งกำเนิดการสปีดเตอร์แบบแมกนีตรอนทรงกระบอก จะให้อะตอมที่ถูกสปีดเตอร์กระจายออกไปทุกด้านรอบเป้า แหล่งกำเนิดการสปีดเตอร์แบบนี้จึงเหมาะสำหรับการเคลือบฟิล์มบางบน วัสดุรองรับ ขนาดเล็กจำนวนมากพร้อมๆ กัน วัสดุรองรับจะวางบนผนังของภาชนะสุญญากาศ (ดูรูปที่ 3.9 ข)



รูปที่ 3.9 ก. แหล่งกำเนิดการสปีดเตอร์แบบ cylindrical-post magnetron
ข. ระบบเคลือบฟิล์มที่ใช้ cylindrical-post magnetron

แหล่งกำเนิดการสปีดเตอร์แบบดีซีแมกนีตรอนทรงกระบอกอีกแบบหนึ่ง คือ cylindrical-hollow magnetron แสดงดังรูปที่ 3.10 มีลักษณะเป็นส่วนกลับของ cylindrical-post magnetron โดยเป้าจะเป็นทรงกระบอกกลวงและใช้ผิวด้านในของทรงกระบอกเป็นบริเวณที่ถูกสปีดเตอร์ สนามแม่เหล็กจะวางตัวแนวขนานกับผิวด้านในของทรงกระบอก ส่วนสนามไฟฟ้าจะตั้งฉากกับผิวด้านในของทรงกระบอกและพุ่งเข้าหาผนังของทรงกระบอก แนวของสนาม $\vec{E} \times \vec{B}$ จะวนเป็นวงกลมบนระนาบที่ตั้งฉากกับแกนทรงกระบอก วัสดุรองรับฟิล์มจะวาง

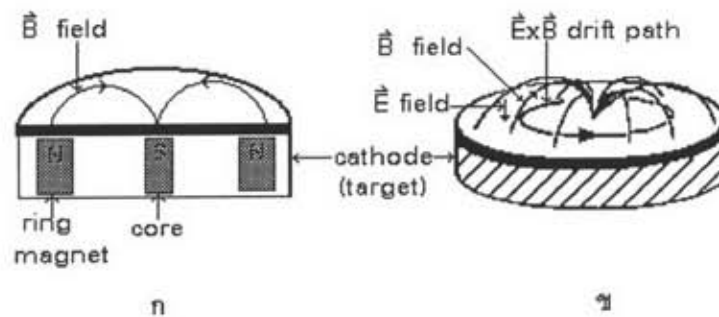
อยู่ภายในทรงกระบอก แหล่งกำเนิดการสปีดเตอร์แบบ cylindrical-hollow magnetron จะให้ฟลักซ์ของอะตอมซึ่งถูกสปีดเตอร์เท่ากับ ณ ทุกๆจุดภายในทรงกระบอก ทำให้เหมาะสำหรับการเคลือบฟิล์มบางบนวัสดุรองรับที่มีรูปร่างซับซ้อน



รูปที่ 3.10 แหล่งกำเนิดการสปีดเตอร์แบบ cylindrical-hollow magnetron

สำหรับแหล่งกำเนิดการสปีดเตอร์แบบดิสก์แมกนีตรอนระนาบแบ่งเป็นสองแบบ คือ แบบวงกลม (circular planar magnetron) กับแบบสี่เหลี่ยมผืนผ้า (rectangular planar magnetron)

แหล่งกำเนิดการสปีดเตอร์แบบดิสก์แมกนีตรอนระนาบวงกลม ซึ่งมีลักษณะแสดงดังรูปที่ 3.11 ประกอบด้วยแผ่นเป้าวงกลม ด้านหลังประกอบด้วยแม่เหล็กในลักษณะที่ให้ขั้วแม่เหล็กขั้วหนึ่งอยู่ตรงตำแหน่งจุดศูนย์กลางเป้า ส่วนขั้วแม่เหล็กอีกขั้วหนึ่งอยู่ในแนวขนานกับเส้นรอบวงในทางปฏิบัติมักใช้แม่เหล็กฮิวาแบบวงแหวนและมีแกนกลาง (ดูรูปที่ 3.11ก) ซึ่งจะได้เส้นแรงแม่เหล็กทั้งหมดพุ่งตัดเป้าร่วมกันที่จุดศูนย์กลางแล้วโค้งกระจายออกไปเหนือผิวเป้าตามแนวรัศมีและพุ่งตัดเป้าอีกครั้งที่ขั้วแม่เหล็กด้านใกล้กับขอบนอก สนามแม่เหล็กส่วนที่ประมาณได้ว่าขนานกับเป้าจะปกคลุมเป้าเป็นพื้นที่วงแหวน ซึ่งอยู่ระหว่างจุดศูนย์กลางเป้ากับแนวที่เส้นแรงแม่เหล็กพุ่งตัดเป้าด้านใกล้กับขอบนอก เนื่องจากเส้นแรงแม่เหล็กวางตัวตามแนวรัศมีและสนามไฟฟ้ามีทิศพุ่งเข้าสู่เป้า ดังนั้นแนวของสนาม $E \times B$ จะวนเป็นวงกลมบนระนาบที่ขนานกับผิวเป้า (ดูรูปที่ 3.11ข) อิเล็กตรอนทุติยภูมิซึ่งหลุดจากเป้าเนื่องจากการชนของไอออนบวกจะถูกกักในบริเวณพื้นที่วงแหวน ทำให้ได้ความเข้มของการดิสชาร์จและการสปีดเตอร์เป้าเกิดขึ้นมากกว่าบริเวณอื่น

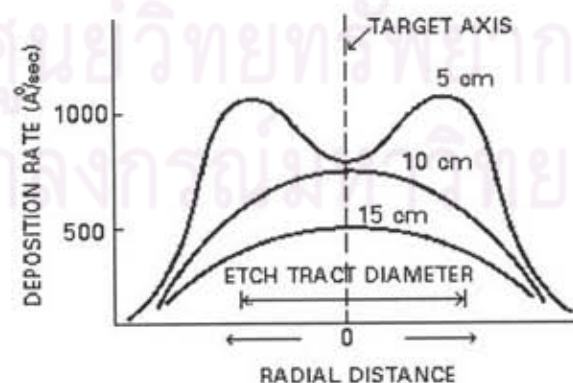


รูปที่ 3.11 แหล่งกำเนิดการสปีดเตอร์แบบ circular-planar magnetron

ก. ภาพภาคตัดขวางแสดงการวางแม่เหล็กและแนวเส้นแรงแม่เหล็ก

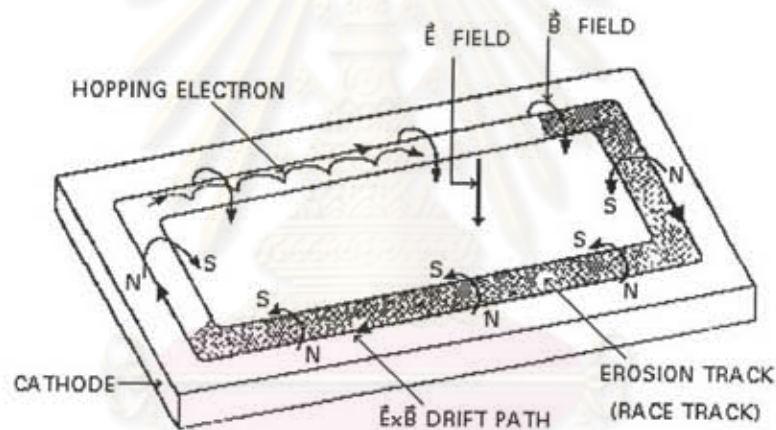
ข. แสดงแนวของ $\vec{E} \times \vec{B}$ บนผิวเป้า

ลักษณะการโกลรูปวงแหวนทำให้แหล่งกำเนิดการสปีดเตอร์แบบแมกนีตรอนระนาบวงกลมมีข้อเสีย คือ เกิดความไม่สม่ำเสมอของการกัดเซาะเป้า โดยทั่วไปเป้าของแหล่งกำเนิดการสปีดเตอร์แบบนี้จะถูกกัดเซาะเป็นร่องตามแนววงแหวนของการกักอิเล็กตรอน ทำให้ไม่สามารถใช้ประโยชน์เป้าได้เต็มพื้นที่ นอกจากนี้ยังส่งผลให้การกระจายความหนาของฟิล์มบางตามแนวรัศมีบนระนาบของวัสดุรองรับซึ่งวางขนานกับระนาบของเป้า มีลักษณะที่ขึ้นกับระยะระหว่างเป้ากับวัสดุรองรับฟิล์ม [43,44] แสดงดังรูปที่ 3.12 ถ้าวัสดุรองรับไม่ห่างจากเป้าหมายมากนัก การกระจายความหนาจะสะท้อนลักษณะการกัดเซาะเป้า คือ ฟิล์มมีความหนามากในบริเวณที่ตรงกับวงแหวนการกัดเซาะเป้า เมื่อเลื่อนวัสดุรองรับฟิล์มห่างจากเป้าหมายมากขึ้น ความหนาของฟิล์มที่ได้จะกระจายสม่ำเสมอมากขึ้น ฟิล์มบางที่มีความหนาที่สม่ำเสมอจะได้รับการจัดระยะระหว่างเป้าที่เหมาะสมและต้องหมุนหรือเลื่อนวัสดุรองรับผ่านเป้า [45]

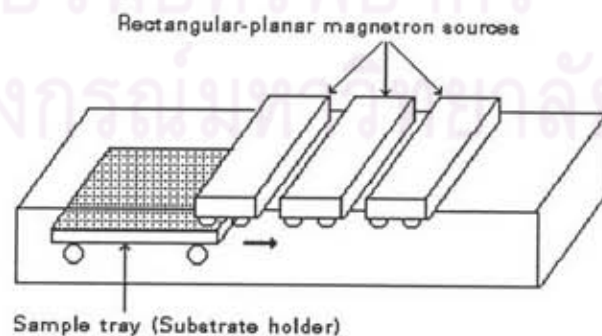


รูปที่ 3.12 การกระจายความหนาของฟิล์มบางจากแหล่งกำเนิดการสปีดเตอร์แบบแมกนีตรอนระนาบวงกลม บนระนาบของวัสดุรองรับที่ห่างจากผิวเป้าระยะต่างๆกัน [46]

แหล่งกำเนิดการสปีดเตอร์แบบดีซีแมกเนตรอนระนาบสี่เหลี่ยมผืนผ้าจะคล้ายกับแบบระนาบวงกลม แต่เปลี่ยนจากเป้าวงกลมเป็นเป้าสี่เหลี่ยมผืนผ้า แสดงดังรูปที่ 3.13 การจัดวางแม่เหล็กจะอยู่ในลักษณะที่ให้แนวของสนาม $E \times B$ บนผิวเป้ารวมทั้งแนวการกัดเซาะเป้าปรากฏเหมือนกับลู่วิ่งของสนามแข่งรถ (race track) แหล่งกำเนิดการสปีดเตอร์แบบนี้เหมาะสำหรับการเคลือบฟิล์มบางบนพื้นที่ระนาบขนาดใหญ่ โดยการออกแบบให้ด้านยาวของแนวการกัดเซาะยาวกว่าขนาดความกว้างของวัสดุรองรับและเลื่อนวัสดุรองรับผ่านเป้าขณะเคลือบฟิล์ม จะทำให้ได้ฟิล์มบางที่มีความสม่ำเสมอสูงโดยไม่ขึ้นกับระยะห่างจากเป้า ระบบที่ใช้ในด้านอุตสาหกรรมมีลักษณะดังรูปที่ 3.14 เป้าของแหล่งกำเนิดการสปีดเตอร์ที่ผ่านการใช้งานนานๆ มักจะถูกกัดเซาะเป็นร่องลึกเฉพาะแนวของลู่วิ่ง การออกแบบแหล่งกำเนิดการสปีดเตอร์ให้สามารถเปลี่ยนแท่งของวัสดุที่ใช้เป็นเป้าเฉพาะในบริเวณของการกัดเซาะ หรือสามารถเลื่อนแม่เหล็กด้านหลังเป้าเพื่อเปลี่ยนแนวของการกัดเซาะ จะช่วยให้สามารถใช้ประโยชน์เป้าได้อย่างมีประสิทธิภาพมากขึ้น

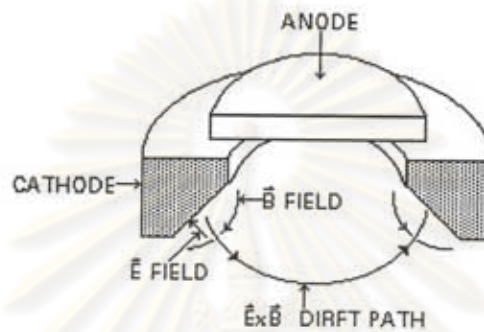


รูปที่ 3.13 แหล่งกำเนิดการสปีดเตอร์แบบ rectangular-planar magnetron



รูปที่ 3.14 ระบบเคลือบฟิล์มบางบนพื้นที่ขนาดใหญ่ ซึ่งใช้แหล่งกำเนิดการสปีดเตอร์แบบ rectangular-planar magnetron เป็นชุด

นอกจากแหล่งกำเนิดการสปีดเตอร์แมกนีตรอนทรงกระบอกและแมกนีตรอนระนาบแล้ว ยังมีแหล่งกำเนิดแบบแมกนีตรอนที่มีเป้าเป็นรูปกรวย (conical magnetron) ซึ่งเป็นที่รู้จักกันดีในชื่อ S-GUN มีลักษณะแสดงดังรูปที่ 3.15 สนามแม่เหล็กจะจัดให้ขนานกับผิวเป้าไปตามแนวเอียงของกรวย ทำให้แนวของสนาม $\vec{E} \times \vec{B}$ เป็นวงกลมซึ่งอยู่บนระนาบที่ตั้งฉากกับแกนของกรวย แหล่งกำเนิดการสปีดเตอร์แบบนี้จะให้การกระจายของอะตอมที่ถูกสปีดเตอร์ออกจากเป้าใกล้เคียงกับการกระจายของอะตอมจากแหล่งกำเนิดการระเหยแบบวงแหวน



รูปที่ 3.15 ภาพภาคตัดขวางของแหล่งกำเนิดการสปีดเตอร์แบบ conical magnetron หรือ S-GUN [47]

4. ลักษณะส่อกระแสและความต่างศักย์ของระบบสปีดเตอร์แบบดีซีแมกนีตรอน

W.D. Westwood และคณะ [48] ได้แสดงว่า ข้อมูลเชิงการทดลองของลักษณะส่อของกระแส ความต่างศักย์ และความดันก๊าซของโกลด์ดิสชาร์จ ในระบบสปีดเตอร์แบบดีซีแมกนีตรอนหลายๆแบบ สอดคล้องกับความสัมพันธ์ในรูป

$$I = \beta(V - V_0)^2 \quad (3.6)$$

โดย I เป็นกระแสของการดิสชาร์จ

V เป็นความต่างศักย์ของการดิสชาร์จ

V_0 เป็นความต่างศักย์ที่ต่ำที่สุดสำหรับรักษาสภาพการดิสชาร์จ

β เป็นค่าคงที่ที่ขึ้นชนิดและความดันก๊าซ ความเข้มสนามแม่เหล็ก และชนิดของเป้า

นอกจากนี้พวกเขาได้อธิบายว่า ความสัมพันธ์ตามสมการ (3.6) ได้มาจากสมมุติฐานที่กำหนดให้กระแสของอิเล็กตรอนจากคาโธดที่เคลื่อนที่ผ่านบริเวณสนามแม่เหล็กซึ่งวางตัวขนานกับเป้า มีลักษณะเป็นแบบ space-charge-limited-current เนื่องจากอิเล็กตรอนถูกกำหนดสภาพเคลื่อนที่ได้โดยสนามแม่เหล็กและการกระเจิงกับอนุภาคของก๊าซในโกลวดิสชาร์จดังรายละเอียดต่อไปนี้

สำหรับสมการทั่วไปของความหนาแน่นกระแสแบบ space-charge-limited ระหว่างขั้วไฟฟ้าสองขั้ว อยู่ในรูป

$$J = \frac{a\epsilon vV}{L^2} \quad (3.7)$$

โดย V เป็นความต่างศักย์ที่ตกคร่อมระหว่างขั้ว

L เป็นระยะระหว่างขั้วไฟฟ้า a เป็นค่าคงที่ และ ϵ เป็นค่าคงที่ไดอิเล็กตริก

ในแมกนีตรอนโกลวดิสชาร์จอิเล็กตรอนที่หลุดจากเป้าจะสามารถเคลื่อนที่ห่างออกจากเป้าเข้าสู่บริเวณ negative glow และไปถึงแอโนดได้โดยอาศัยการกระเจิงกับอะตอม หรือไอออนบวกเท่านั้น มิฉะนั้นแล้วอิเล็กตรอนจะถูกกักไว้ที่บริเวณเป้าโดยสนามแม่เหล็กที่ขนานกับเป้า สภาพเคลื่อนที่ได้ของอิเล็กตรอนในแนวตั้งฉากกับผิวเป้า (μ_T) เป็นไปตามสมการ

$$\mu_T = \mu_0 / (1 + \frac{\omega_c^2}{\nu^2}) \quad (3.8)$$

โดย μ_0 เป็นสภาพเคลื่อนที่ได้ของอิเล็กตรอน ขณะที่ไม่มีสนามแม่เหล็ก

ω_c เป็นความถี่ไซโคลตรอน ของอิเล็กตรอน ($\omega_c = eB/m$)

ν เป็นความถี่ของการชนระหว่างอิเล็กตรอนกับอะตอมก๊าซที่เป็นกลาง

ความถี่ของการชน ν ขึ้นกับความเร็ว และระยะทางอิสระเฉลี่ยของอิเล็กตรอนในก๊าซ จากการทดลองสามารถคำนวณได้ว่า ν มีค่าประมาณ $5 \times 10^7 P$ โดย P เป็นความดันก๊าซในหน่วยปาสคาล เมื่อแทนค่า v และความถี่ไซโคลตรอน ω_c จะได้

$$\mu_T = \mu_0 / [1 + 1.24 \times 10^7 (B/P)^2] \quad (3.9)$$

โดย B มีหน่วยเป็นเทสลา จากสมการจะเห็นว่า ถ้า $B=0$ แล้ว $\mu_r = \mu_0$ และถ้า P มีค่าน้อย μ_r มีค่าใกล้ 0 แสดงให้เห็นว่าการชนของอิเล็กตรอนกับอะตอมของก๊าซ มีความสำคัญต่อการเคลื่อนที่ของอิเล็กตรอนข้ามสนามแม่เหล็ก

ขนาดยังผลของสนามแม่เหล็กในระบบดีซีแมกนีตรอนสเป็คเตอริง มีค่าประมาณ 0.03 เทสลา (300 เกาส์) โดยการคำนวณจะพบว่าในช่วงความดันของการทดลองระหว่าง 0.1 ถึง 10 ปาสกาล อัตราส่วน μ_r/μ_0 เพิ่มจาก 10^5 เป็น 10^2 แสดงว่าสภาพเคลื่อนที่ได้ของอิเล็กตรอนในทิศตั้งฉากกับคาโรดมีค่าน้อยมากเมื่อเทียบกับกรณีไม่มีสนามแม่เหล็ก ($\mu_r/\mu_0 = 1$) และถูกควบคุมโดยการชนกับอะตอมก๊าซ สำหรับอัตราส่วนของสภาพเคลื่อนที่ได้ของไอออนบวกต่ออิเล็กตรอนในทิศตั้งฉากกับคาโรดในการดิสชาร์จที่ไม่มีสนามแม่เหล็กมีค่าประมาณ 5×10^3 ซึ่งนับว่าต่ำมาก ทั้งนี้เนื่องจากไอออนบวกมีมวลมากกว่าอิเล็กตรอนมาก ผลของสนาม $\vec{E} \times \vec{B}$ ในระบบแมกนีตรอนมีผลให้สภาพเคลื่อนที่ได้ของอิเล็กตรอนผ่านบริเวณ cathode dark space ลดลงไปใกล้เคียงหรือต่ำกว่าสภาพเคลื่อนที่ได้ของไอออนบวก โดยเฉพาะในช่วงความดันก๊าซต่ำ

เนื่องจากอิเล็กตรอนมีสภาพการเคลื่อนที่ได้ที่กำหนดด้วยการชน ซึ่งคล้ายกับการเคลื่อนที่ของอิเล็กตรอนอิสระในของแข็ง ความเร็วของอิเล็กตรอนจะเป็นความเร็วลอยเลื่อน กำหนดโดยสมการ

$$v = \mu_T E = \mu_T V / L \quad (3.10)$$

โดย μ_T เป็นสภาพเคลื่อนที่ได้ของอิเล็กตรอนในทิศตั้งฉากกับเป้า

E เป็นสนามไฟฟ้า

L เป็นความยาวของ cathode dark space

V เป็นความต่างศักย์ตกคร่อม L

แทนค่า v จากสมการ (3.10) ในสมการ space charge limited current จะได้

$$J = bV^2 \quad (3.11)$$

โดย $b = a\epsilon\mu_r/L^3$

อย่างไรก็ตามสมการนี้ยังไม่ให้ความเป็นจริงที่ว่าต้องมีความต่างศักย์ต่ำที่สุดค่าหนึ่งที่จะรักษาสภาพการดิสชาร์จ และกระแสการดิสชาร์จจะเป็นศูนย์เมื่อความต่างศักย์ต่ำกว่านี้ ดังเช่นในกรณีของระบบดีซีไดโอด ซึ่งความต่างศักย์ยังผลที่ทำให้เกิดกระแสของการดิสชาร์จ คือ $V-V_0$ (ดูบทที่ 2 หัวข้อ "ลักษณะส่อของกระแส ความต่างศักย์ และความดันของดีซีโกลวดิสชาร์จ") ดังนั้นสมการ (3.11) ควรอยู่ในรูป

$$J = b(V - V_0)^2 \quad (3.12)$$

โดย V_0 เป็นความต่างศักย์สำหรับรักษาสภาพดิสชาร์จ กระแสอิเล็กตรอนรวมได้จากการอินทิเกรตสมการนี้ทั่วทั้งผิวเป้า

ในทางปฏิบัติกระแสการดิสชาร์จที่วัดได้ คือ ผลรวมของกระแสไอออนบวกกับกระแสอิเล็กตรอนทุติยภูมิ เนื่องจากอิเล็กตรอนทุติยภูมิเหล่านี้ได้จากการที่ไอออนบวกชนเป้า ดังนั้นจึงสามารถประมาณได้ว่ากระแสการดิสชาร์จรวมเป็นปฏิภาคโดยตรงกับกระแสอิเล็กตรอน ในสมการ (3.12) ดังนั้นจะได้สมการของกระแสการดิสชาร์จรวมในรูป

$$I = \beta(V - V_0)^2 \quad (3.13)$$

ซึ่งก็คือสมการ (3.6) ดังที่กล่าวไว้ข้างต้นหัวข้อนี้

ในตารางที่ 3.3 ได้แสดงค่า β และ V_0 ซึ่ง W.D. Westwood และคณะได้จากการวิเคราะห์การสอดคล้อง (fitting) ของข้อมูลจากการทดลองกับสมการ (3.12) โดยใช้ข้อมูลลักษณะส่อของกระแส และความต่างศักย์ของโกลวดิสชาร์จ ซึ่งวัดจากระบบสปีดเทอริงแบบดีซีแมกนีตรอนระนาบสี่เหลี่ยมผืนผ้า และ Research-S gun ที่มีเป้าชนิดต่างๆ คือ Al, Cd₂Sn, CdSe และ Cr ที่กาซอาร์กอนความดันต่างๆกัน ในระบบการทดลองนี้ ใช้แหล่งจ่ายกำลังไฟฟ้าแบบจ่ายกระแสคงที่ (constant current dc power supply) ความต่างศักย์ของการดิสชาร์จวัดในช่วงกระแสการดิสชาร์จจะระหว่าง 0.5 - 8 A สำหรับแต่ละค่าของความดันกาซ จากตารางจะเห็นว่า β ขึ้นกับความดันอย่างมาก โดยมีค่าสูงขึ้นเมื่อความดันกาซอาร์กอนสูงขึ้น ส่วน V_0 ลดลงตามความดัน แนวโน้มนี้จะเหมือนกันสำหรับเป้าทุกชนิด แต่ค่าของ β และ V_0 จะแตกต่างกันไปสำหรับเป้าแต่ละชนิด และขึ้นกับรูปแบบของแหล่งกำเนิดการสปีดเทอริงด้วย

ตารางที่ 3.3 ค่า β และ V_0 ซึ่งได้จากการวิเคราะห์ลักษณะส่อกระแส และความต่างศักย์ ของโกลด์ดิสชาร์จในระบบดีซีแมกนีตรอน สปีดเตอริงแบบ rectangular-planar magnetron และ Research-S Gun ที่ความดันกาซอาร์กอนต่างๆกัน

Target	P(Pa)	V_0 (Volt)	β (A/kV ²)	Magnetron type
Al	0.33	280	75	rectangular-planar
	0.57	270	148	rectangular-planar
	0.95	245	200	rectangular-planar
Al	0.13	400	39	Reasearch-S Gun
	0.43	373	63	Reasearch-S Gun
	1.55	335	105	Reasearch-S Gun
Cd ₃ Sn	0.25	220	26	rectangular-planar
	0.4	180	33	rectangular-planar
	1.0	175	53	rectangular-planar
	1.4	175	78	rectangular-planar
CdSe	0.25	390	45	rectangular-planar
	0.5	390	75	rectangular-planar
	1.0	390	120	rectangular-planar
Cr	0.6	330	750	rectangular-planar
	1.2	320	1460	rectangular-planar
	1.9	300	2,000	rectangular-planar

อย่างไรก็ตามในรายงานของ W.D. Westwood และคณะ ตามที่เสนอไว้ข้างต้น ยังไม่ปรากฏการรายงานในเชิงของการศึกษาเกี่ยวกับผลของความเข้มสนามแม่เหล็ก ที่มีต่อลักษณะส่อของกระแส และความต่างศักย์ของการดิสชาร์จแต่อย่างใด ซึ่งจากการพิสูจน์หาความสัมพันธ์ตามสมการ (3.13) จะเห็นแล้วว่าความเข้มสนามแม่เหล็กเป็นพารามิเตอร์ตัวหนึ่งที่มีบทบาทสำคัญ การศึกษาผลของสนามแม่เหล็กต่อลักษณะส่อของการดิสชาร์จจะเป็นหัวข้อหนึ่ง ที่ผู้ทำงานวิจัยนี้มองว่าเป็นจุดที่น่าสนใจ ซึ่งจะมีประโยชน์มากต่อการสร้างและพัฒนาระบบ สปีดเตอริงแบบดีซีแมกนีตรอน ในการทำวิจัยจึงได้รวมหัวข้อการศึกษานี้ไว้เป็นส่วนหนึ่งด้วย

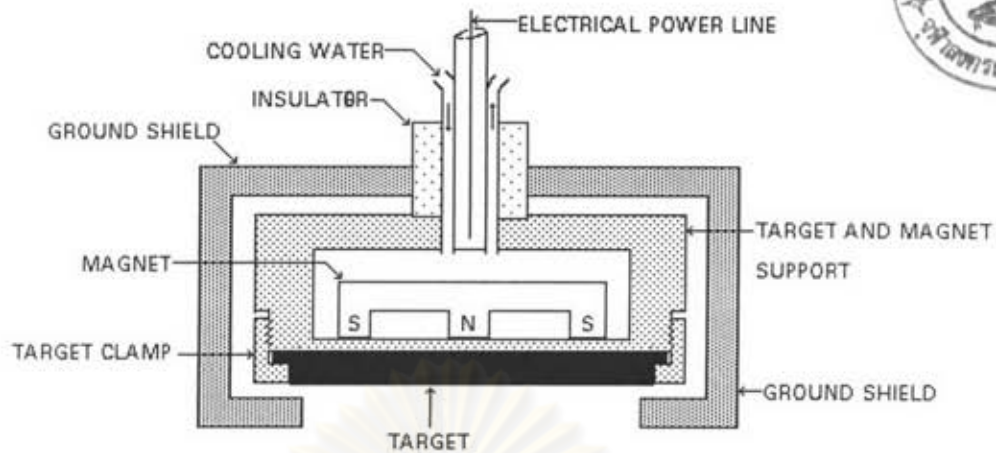
รายละเอียดเชิงปฏิบัติการของระบบสับตัดเตอริงแบบดีซีแมกนิตรอน

ก่อนที่จะเข้าสู่เรื่องของ การออกแบบและจัดสร้างระบบในบทต่อไป จะขอสรุปข้อมูลเชิงเทคนิคบางประการเกี่ยวกับระบบเคลือบฟิล์มบางโดยวิธีสับตัดเตอริง ซึ่งจะได้นำไปเป็นแนวคิดสำหรับการออกแบบระบบที่จะใช้สำหรับงานวิจัยนี้

1. แหล่งกำเนิดการสับตัดเตอริง

พิจารณาแหล่งกำเนิดการสับตัดเตอริงแบบดีซีแมกนิตรอนระนาบวงกลม[25] ซึ่งแสดงดังรูปที่ 3.16 จะเห็นว่าส่วนของขอบเป้าด้านข้าง แหวนประกบเป้า(target clamp) และส่วนรองรับ (support) ที่ประกบกับเป้าด้านหลัง จะถูกล้อมรอบด้วย grounded shield จุดประสงค์ของการติดตั้ง grounded shield คือ เพื่อที่จะจำกัดการชนของไอออนบวกให้เกิดขึ้นเฉพาะด้านหน้าเป้าเท่านั้น มิฉะนั้นแล้วผิวของส่วนประกอบอื่นๆซึ่งเชื่อมต่อทางไฟฟ้ากับเป้าจะถูกสับตัดเตอริงด้วย และส่งผลให้ฟิล์มบางที่ได้มีสารเจือปน ในการป้องกันผิวส่วนอื่นที่ไม่ใช่เป้าไม่ให้ถูกไอออนบวกชน ระยะระหว่างผิวเหล่านี้กับ grounded shield จะต้องน้อยกว่าความยาวของ cathode dark space เพื่อป้องกันการเกิดโกลด์ดิสชาร์จในช่องว่างเหล่านี้ขึ้น

นอกจากนี้ในรูปที่ 3.16 จะเห็นว่า มีระบบน้ำหล่อเย็น ทั้งนี้เพราะว่าเป้าหรือคาโรดของการสับตัดเตอริงจะถูกชนด้วยกระแสไอออนบวกที่มีความเข้มและพลังงานค่อนข้างสูง ประกอบกับการสับตัดเตอริงจัดได้ว่าเป็นกระบวนการที่ใช้พลังงานด้วยประสิทธิภาพ พลังงานที่ตกกระทบเป้าส่วนใหญ่จะเปลี่ยนไปอยู่ในรูปความร้อน จึงทำให้เป้าขณะถูกสับตัดเตอริงมีอุณหภูมิสูง (อาจสูงถึง 400 °C) ซึ่งจะมีผลเสีย ได้แก่ ทำให้อัตราการสับตัดเตอริงลดลง ลดความเข้มหรือทำลายสภาพแม่เหล็กในกรณีที่ใช้แม่เหล็กฐานารประกบหลังเป้า ทำลายส่วนประกอบที่เป็นยาง เป็นต้น การออกแบบแหล่งกำเนิดการสับตัดเตอริงให้สามารถถ่ายเทความร้อนออกจากเป้าได้ดี จึงมีความจำเป็น



รูปที่ 3.16 ภาพภาคตัดขวางของแหล่งกำเนิดการสปัตเตอร์แบบแมกนีตรอนระนาบวงกลม

2. ก๊าซสำหรับการสปัตเตอร์และระบบสุญญากาศ

ในการสปัตเตอร์โลหะจะใช้ก๊าซอาร์กอนความบริสุทธิ์ระหว่าง 99.99 ถึง 99.999 เปอร์เซ็นต์ ป้อนผ่านวาล์วซึ่งปรับอัตราไหลของก๊าซได้ จุดที่จะปล่อยก๊าซในภาชนะสุญญากาศควรอยู่ใกล้กับผิวเป้าหมายมากที่สุด

ในกรณีของ Reactive sputtering เพื่อเคลือบฟิล์มบางของสารประกอบระหว่างโลหะซึ่งเป็นเป่ากับก๊าซไวปฏิกิริยา เช่น ก๊าซออกซิเจน โดยทั่วไปใช้วิธีผสมก๊าซไวปฏิกิริยากับก๊าซอาร์กอนด้วยความเข้มข้นระหว่าง 5-50 เปอร์เซ็นต์ ก๊าซที่ผสมเข้าไปมีผลกระทบอย่างมากต่อลักษณะสอของการดิสชาร์จ การเปลี่ยนสมบัติของเป้า รวมทั้งสมบัติของฟิล์มบางที่ได้ ส่วนผสมก๊าซที่เหมาะสมนั้นไม่แน่นอน ขึ้นกับปัจจัยหลายอย่าง เช่น ระบบที่ใช้ ชนิดของเป้า และที่สำคัญขึ้นกับว่าทำให้ได้ฟิล์มที่มีสมบัติตามต้องการหรือไม่

ระบบสุญญากาศควรสามารถสร้างสุญญากาศได้ระดับต่ำสุดประมาณ 10^{-5} ทอร์ร์เป็นอย่างน้อยโดยเฉพาะการเคลือบฟิล์มที่ต้องการความบริสุทธิ์สูง ภายในภาชนะสุญญากาศควรปราศจากไอน้ำ ในกรณีที่ใช้ระบบปั๊มที่มีปั๊มแพร่ไอน้ำมันต้องเพิ่มระบบกับดักไนโตรเจนเหลวคั่นระหว่างภาชนะสุญญากาศกับปั๊ม เพื่อจับไอน้ำมันไม่ให้เข้าไปในภาชนะสุญญากาศ ซึ่งอาจทำให้ฟิล์มปนเปื้อนน้ำมันได้

3. แทนวางวัสดุรองรับ

อุณหภูมิที่ผิวของวัสดุรองรับเป็นพารามิเตอร์หนึ่งที่สำคัญต่อกระบวนการเกิดฟิล์มบาง อย่างไรก็ตามในทางปฏิบัติแล้ว การวัดหรือควบคุมอุณหภูมิที่ผิวของวัสดุรองรับโดยตรงไม่สามารถทำได้สะดวก ในระบบสเปคโตรริงหรือระบบเคลือบฟิล์มบางอื่นๆโดยทั่วไปจะใช้วิธีวางวัสดุรองรับบนแทนวาง ที่สามารถควบคุมอุณหภูมิได้และประมาณว่าอุณหภูมิที่ผิวของวัสดุรองรับถูกควบคุมตามไปด้วย และมักอ้างถึงอุณหภูมิแทนวางวัสดุรองรับว่าเป็นอุณหภูมิของวัสดุรองรับ ซึ่งจะถูกต้องหรือใกล้เคียงในบางกรณีเท่านั้น ทั้งนี้ขึ้นกับการนำความร้อนระหว่างวัสดุรองรับกับแทนวาง และช่วงเวลาสำหรับการปรับสู่สภาวะสมดุลทางความร้อน

แทนวางวัสดุรองรับจะประกอบด้วยระบบระบายความร้อน ซึ่งส่วนใหญ่เป็นระบบน้ำไหลเวียนแบบวงจรรปิด แหล่งกำเนิดความร้อน และระบบวัดและควบคุมอุณหภูมิ ข้อควรระวังในการติดตั้งส่วนประกอบเหล่านี้เข้าไปที่สำคัญ คือ ต้องไม่ทำให้ระบบสุญญากาศรั่วหรือเพิ่มความสกปรกให้กับระบบสุญญากาศ และไม่ทำให้ลัดวงจรไฟฟ้า

4. การเลือกสภาวะการสเปคโตรริง

สภาวะของการสเปคโตรริง หมายถึง สภาพของโกลดิสชาร์จขณะเคลือบฟิล์มบางรวมทั้งสภาพแวดล้อมของวัสดุรองรับ ตัวแปรที่ใช้กำหนดสภาวะของการสเปคโตรริง ได้แก่ ความดันก๊าซ กระแส และความต่างศักย์ของการดิสชาร์จ อุณหภูมิวัสดุรองรับ และความต่างศักย์ไบแอส (กรณีของสเปคโตรริงแบบไบแอส) หลักกว้างๆของการเลือกสภาวะของการสเปคโตรริงคือ เพื่อให้ได้อัตราเคลือบฟิล์มบางซึ่งมีโครงสร้างและสมบัติของฟิล์มบางตามต้องการ

เนื่องจากสภาวะการสเปคโตรริงในขณะเคลือบฟิล์ม มีความสำคัญต่อการควบคุมสมบัติของฟิล์มบางที่ได้ ตลอดจนเป็นพารามิเตอร์ที่จะใช้ในการวิเคราะห์และอภิปรายสมบัติของฟิล์มบางที่ได้ ดังนั้นจึงต้องวัดและแสดงค่าของพารามิเตอร์เหล่านี้ตลอดเวลาที่สเปคโตรริง